

# รายงานวิจัย

การวิเคราะห์สารในกลุ่มแครอทีนอยด์ในพืชบางชนิดและ  
ศึกษาผลการเตรียมสารตัวอย่างต่อการวิเคราะห์เชิงปริมาณของ  
สารในกลุ่มแครอทีนอยด์

Analysis and Study of Effects Various Pretreatments on  
Quantitative analysis of Carotenoids in Some Plants

ผู้ช่วยศาสตราจารย์ศิริพร จันทร์คีรี  
ภาควิชาเคมี คณะวิทยาศาสตร์  
มหาวิทยาลัยหกชั้น

2551

งานวิจัยนี้ได้รับทุนอุดหนุนการวิจัยจากงบประมาณรายได้ มหาวิทยาลัยหกชั้น  
ประจำปีงบประมาณ 2546



## คำรับรองคุณภาพ

ข้าพเจ้า รองศาสตราจารย์เกย์ม อัศวครีรัตนกุล ได้ประเมินคุณภาพงานวิจัย  
เรื่อง การวิเคราะห์สารในกลุ่มแครอทที่น้อยค่าในพืชบางชนิดและศึกษาผลการเตรียมสารตัวอย่าง  
ด้วยการวิเคราะห์เชิงปริมาณของสารในกลุ่มแครอทที่น้อยค่า  
โดย ศิริพร จันทร์คีรี

มีความเห็นว่า ผลงานวิจัยฉบับนี้มีคุณภาพอยู่ในเกณฑ์

- ดีมาก
- ดี
- ปานกลาง
- ค่า

ซึ่งสมควรเผยแพร่ในเวดดิวชัฟฟาร์ได้

ลงชื่อ .....

(รองศาสตราจารย์เกย์ม อัศวครีรัตนกุล)

ผู้ประเมิน

วันที่ ๑๗ เดือน ๊ ๙ พ.ศ. ๒๕๕๑

## ประกาศคุณูปการ

งานวิจัยเรื่องนี้สามารถดำเนินงานให้สำเร็จลุล่วงโดยได้รับการสนับสนุนเงินทุนอุดหนุนการวิจัยจากงบประมาณรายได้ มหาวิทยาลัยทักษิณ ประจำปีงบประมาณ 2546 รวมถึงการให้ความอนุเคราะห์อุปกรณ์และเครื่องมือที่ใช้ในงานวิจัยจากภาควิชาเคมี คณะวิทยาศาสตร์ มหาวิทยาลัยทักษิณ

ผู้วิจัย  
ศิริพร จันทร์คีรี



การวิเคราะห์สารในกลุ่มแครอทินอยด์ในพืชบางชนิดและศึกษาผลการเตรียมสารตัวอย่าง  
ต่อการวิเคราะห์เชิงปริมาณของสารในกลุ่มแครอทินอยด์

Analysis and Study of Effects Various Pretreatments on Quantitative analysis of  
Carotenoids in Some Plants

ศิริพร จันทรคีรี

ผู้ช่วยศาสตราจารย์ ภาควิชาเคมี คณะวิทยาศาสตร์ มหาวิทยาลัยทักษิณ สงขลา 90000

บทคัดย่อ

งานวิจัยนี้ตั้งปณังค์เพื่อเปรียบเทียบวิธีการเตรียมสารตัวอย่าง 3 แบบ คือ เตรียมแบบ  
ตัวอย่างสด ตัวอย่างอบแห้ง และตัวอย่างพรีซดรายด์ รวมทั้งศึกษาประสิทธิภาพในการสกัดจาก  
ตัวทำละลายผสม 3 ชนิด คือ acetone-methanol-petroleum ether, chloroform-methanol และ  
hexane-acetone-ethanol ซึ่งพบว่าการเตรียมตัวอย่างแบบสด และใช้สารละลายผสมระหว่าง  
hexane-acetone-ethanol อัตราส่วน 2:1:1 สามารถสกัดสารออกมามากที่สุด

การวิเคราะห์หาปริมาณเบต้า-แครอทินและแอดเดนทินในพืชตัวอย่าง ได้แก่ เปลือก  
ข้าวโพด สาหร่ายผมน้ำ ดอกเข็ม ดอกดาวเรือง ดอกเพ่องฟ้า แครอท และเปลือกเงา โดยใช้  
เทคนิคUV-Vis spectrophotometry ซึ่งพบปริมาณเบต้า-แครอทินในดอกดาวเรืองมากที่สุด  
 $(411.5562 \pm 0.6377 \mu\text{g/g})$  รองลงมาคือ สาหร่ายผมน้ำ( $167.0658 \pm 0.7913 \mu\text{g/g}$ ) แครอท  
 $(142.3117 \pm 4.1854 \mu\text{g/g})$  ดอกเข็ม( $105.2184 \pm 0.3011 \mu\text{g/g}$ ) ดอกเพ่องฟ้า( $34.6650 \pm 0.1966 \mu\text{g/g}$ )  
เปลือกเงา( $22.7979 \pm 0.1796 \mu\text{g/g}$ ) และเปลือกข้าวโพด( $6.1141 \pm 0.0026 \mu\text{g/g}$ ) ตามลำดับ

ส่วนปริมาณแอดเดนทินพบในดอกดาวเรือง( $43.4084 \pm 0.0673 \mu\text{g/g}$ ) มากที่สุด  
รองลงมาคือสาหร่ายผมน้ำ( $17.6211 \pm 0.0835 \mu\text{g/g}$ ) แครอท( $15.0102 \pm 0.4415 \mu\text{g/g}$ ) ดอกเข็ม  
 $(11.0978 \pm 0.0318 \mu\text{g/g})$  ดอกเพ่องฟ้า( $3.6563 \pm 0.0207 \mu\text{g/g}$ ) เปลือกเงา( $2.4046 \pm 0.0189 \mu\text{g/g}$ )  
และเปลือกข้าวโพด( $0.6449 \pm 0.0003 \mu\text{g/g}$ ) ตามลำดับ

## Abstract

Effects of various samples preparation methods, and extraction conditions on the carotenoid content of some plants were studied by a high-performance liquid chromatography method and UV-Visible spectroscopy.

Samples preparation were treated by freshly, by drying and freeze-drying method, then the samples were further extracted using various solvents, acetone-methanol-petroleum ether, chloroform-methanol and hexane-acetone-ethanol. The best samples preparation conditions was by freshly and the best solvent was hexane-acetone-ethanol (2:1:1).

Quantitative analysis of  $\beta$ -carotene and astaxanthin from some plants such as, fruit hull of maize (*Zea mays Linn.*), Phom-nang Seaweed (*Gracilaria fisheri*), Red Ixora flower (*Ixora chinensis lamk.*), Marigold flower (*Tagetes erecta Linn.*) and Paper flower (*Bougainvillea hybrida*), carrot (*Daucus carota Linn.*), and fruit hull of Rambutan (*Nephelium lappaceum Linn.*), were determined by UV-Visible spectrophotometry.

The highest concentration of  $\beta$ -carotene was found in Marigold flower ( $411.5562 \pm 0.6377 \mu\text{g/g}$ ), Phom-nang Seaweed ( $167.0658 \pm 0.7913 \mu\text{g/g}$ ), carrot ( $142.3117 \pm 4.1854 \mu\text{g/g}$ ), Red Ixora flower ( $105.2184 \pm 0.3011 \mu\text{g/g}$ ), Paper flower ( $34.6650 \pm 0.1966 \mu\text{g/g}$ ), fruit hull of Rambutan ( $22.7979 \pm 0.1796 \mu\text{g/g}$ ), and hull of maize ( $6.1141 \pm 0.0026 \mu\text{g/g}$ ) respectively.

The maximum astaxanthin content was found maximal in Marigold flower ( $43.4084 \pm 0.0673 \mu\text{g/g}$ ), Phom-nang Seaweed ( $17.6211 \pm 0.0835 \mu\text{g/g}$ ), carrot ( $15.0102 \pm 0.4415 \mu\text{g/g}$ ), Red Ixora flower ( $11.0978 \pm 0.0318 \mu\text{g/g}$ ) Paper flower ( $3.6563 \pm 0.0207 \mu\text{g/g}$ ) fruit hull of Rambutan ( $2.4046 \pm 0.0189 \mu\text{g/g}$ ) and hull of maize ( $0.6449 \pm 0.0003 \mu\text{g/g}$ ) respectively.

# สารบัญ

|  | หน้า |
|--|------|
| บทที่ 1 บทนำ   | 1    |
| 1.1 หลักการและความเป็นมาของงานวิจัย  | 1    |
| 1.2 วัตถุประสงค์ของการวิจัย  | 2    |
| 1.3 ประโยชน์ที่คาดว่าจะได้รับ  | 2    |
| 1.4 ขอบเขตของการวิจัย  | 2    |
| บทที่ 2 เอกสารและงานวิจัยที่เกี่ยวข้อง   | 3    |
| 2.1 เอกสารที่เกี่ยวข้องกับแครอฟท์นอยด์   | 3    |
| 2.2 งานวิจัยที่เกี่ยวข้องกับแครอฟท์นอยด์   | 10   |
| บทที่ 3 วิธีดำเนินการวิจัย   | 13   |
| 3.1 วัสดุอุปกรณ์และสารเคมี   | 13   |
| 3.2 วิธีการวิจัย   | 15   |
| 3.2.1 ศึกษาการเตรียมตัวอย่าง   | 15   |
| 3.6.2 ศึกษาการสกัดสารตัวอย่าง  | 15   |
| 3.6.3 การวิเคราะห์สารเชิงปริมาณโดยเทคนิค HPLC  | 16   |
| 1) การวิเคราะห์หาส่วนที่เหมาะสมในการวิเคราะห์  |      |
| 2) การหาปริมาณแอดสต้าแซนทินในตัวอย่างโดยใช้กราฟมาตรฐาน   |      |
| 3.6.4 การวิเคราะห์สารเชิงปริมาณโดยเทคนิคUV-Vis spectrophotometry   | 18   |
| 1) การวิเคราะห์หาส่วนที่เหมาะสมในการวิเคราะห์  |      |
| 2) การหาปริมาณสารผงสมเปต้า-แครอฟท์น แอลแลคแอดสต้าแซนทิน  |      |
| บทที่ 4 ผลการวิจัย   | 20   |
| 4.1 การศึกษาความยาวคลื่นที่เหมาะสมสำหรับการวิเคราะห์   | 20   |
| 4.2 ศึกษาการหาปริมาณเบต้า-แครอฟท์น และแอดสต้าแซนทิน โดยเทคนิค High-performance liquid chromatography               | 23   |
| 4.3 ศึกษาการหาปริมาณเบต้า-แครอฟท์น และแอดสต้าแซนทิน โดยเทคนิค UV-Vis spectrophotometry ด้วยวิธีการสร้างกราฟมาตรฐาน | 29   |
| แบบสารผง 2 ชนิด  |      |
| 4.4 ศึกษาวิธีการเตรียมตัวอย่างและชนิดของสารสกัด  | 33   |
| 4.5 การหาปริมาณเบต้า-แครอฟท์น และแอดสต้าแซนทิน ในตัวอย่าง  | 37   |

|   |      |
|---|------|
|   | หน้า |
| บทที่ 5 สู่ปัลการวิจัย และอภิปรายผลการวิจัย และข้อเสนอแนะ | 40   |
| บรรณานุกรม  | 42   |



## สารบัญตาราง

| ตารางที่  | หน้า |
|---|------|
| 2.1 สรุปวิธีการสกัดที่ใช้สำหรับเตรียมตัวอย่างผลไม้และผัก  | 10   |
| 4.1 ข้อมูลการดูดกลืนแสงช่วงยูวี-วิสิเบิล ของสารประกอบแครโตรีนอยด์   | 21   |
| 4.2 แสดงความสัมพันธ์อัตราส่วนของเฟสเคลื่อนที่กับค่า Capacity factor ( <i>k</i> ) และจำนวนTheoretical plates (N) โดยมีสภาวะการทดลองคือ C <sub>30</sub> Column, hexane-acetone, Flow rate 1.0 ml/min, ความยาวคลื่น 480 นาโนเมตร         | 23   |
| 4.3 แสดงความสัมพันธ์ระหว่างอัตราการไหลของเฟสเคลื่อนที่กับค่า Capacity factor ( <i>k</i> ), HETP และจำนวน Theoretical plates (N)โดยมีสภาวะการทดลองคือ C <sub>30</sub> Column, hexane-acetone อัตราส่วน 70:30 ความยาวคลื่น 480 นาโนเมตร | 26   |
| 4.4 แสดงพื้นที่ไดพิกของแอกสต้าแซนทิน ที่ระดับความเข้มข้น 5, 10, 15, 20, 25, 30 mg/L โดยมีสภาวะการทดลองคือ C <sub>30</sub> Column, Flow rate 1.0 ml/min, hexane - acetone อัตราส่วน 70:30 ความยาวคลื่น 480 นาโนเมตร                    | 27   |
| 4.5 แสดงค่าการดูดกลืนแสงของเบต้า-แครโตรีน ที่ความยาวคลื่น 473.5 และ450.5 นาโนเมตร   | 30   |
| 4.6 แสดงค่าการดูดกลืนแสงของแอกสต้าแซนทิน ที่ความยาวคลื่น 473.5 และ450.5 นาโนเมตร  | 30   |
| 4.7 แสดงวิธีสกัดที่เหมาะสมโดยใช้ hexane-acetone-ethanol อัตราส่วน 2 :1 :1 เป็นตัวสกัด โดยมีสภาวะการทดลองคือ C <sub>30</sub> Column, Flow rate 1.0 ml/min, hexane - acetone อัตราส่วน 70:30 ความยาวคลื่น 480 นาโนเมตร                  | 33   |
| 4.8 แสดงการหาชนิดของตัวทำละลายที่เหมาะสมสำหรับใช้สกัด ใช้ตัวอย่างเป็นแครอฟส์ โดยมีสภาวะการทดลองคือ C <sub>30</sub> Column, Flow rate 1.0 ml/min, hexane - acetone อัตราส่วน 70:30 ความยาวคลื่น 480 นาโนเมตร                           | 35   |
| 4.9 แสดงค่าการดูดกลืนแสงของเบต้า-แครโตรีนและแอกสต้าแซนทินในพืชตัวอย่าง  | 38   |
| 4.10 แสดงปริมาณเบต้า-แครโตรีนและแอกสต้าแซนทินในพืชตัวอย่าง  | 39   |

# สารบัญรูป

| รูปที่  | หน้า |
|---|------|
| 2.1 โครงสร้างทางเคมีของ hydrogenated carotenoid derivatives   | 4    |
| 2.2 โครงสร้างทางเคมีของ oxygenated carotenoid derivatives   | 4    |
| 3.1 แสดงค่าการดูดกลืนแสงของสาร I, II และของผสม (I+II)   | 18   |
| 4.1 (ก) แสดงスペกตรัมของเบต้า-แครอทีน (ข) แสดงスペกตรัมของแอกสตาแซนทิน  | 20   |
| 4.2 แสดงโครงมาโทแกรมของแอกสตาแซนทิน โดยมีสภาวะการทดลองคือ $C_{30}$ Column,<br>acetonitrile:dichloromethane:methanol(71:7:22) Flow rate 1.0 ml/min   | 24   |
| 4.3 แสดงโครงมาโทแกรมของแอกสตาแซนทิน โดยมีสภาวะของการทดลองคือ $C_{30}$<br>Column, acetone: methanol :น้ำ อัตราส่วน 50:45:5 Flow rate 1.0 ml/min  | 24   |
| 4.4 แสดงโครงมาโทแกรมของแอกสตาแซนทิน โดยมีสภาวะของการทดลองคือ $C_{30}$<br>Column, hexane:acetone อัตราส่วน 70:30 Flow rate 1.0 ml/min  | 24   |
| 4.5 แสดงผลของอัตราส่วนเฟสเคลื่อนที่ hexane:acetone ที่มีต่อโครงมาโทแกรมของ<br>แอกสตาแซนทิน โดยมีสภาวะการทดลองคือ $C_{30}$ Column Flow rate 1.0 ml/min   | 25   |
| 4.6 แสดงผลของ flow rate ที่มีต่อโครงมาโทแกรมของแอกสตาแซนทิน โดยมีสภาวะของ<br>การทดลองคือ $C_{30}$ Column, hexane:acetone อัตราส่วน 70:30  | 26   |
| 4.7 แสดงความสัมพันธ์ระหว่างพื้นที่ไดพิกของแอกสตาแซนทินที่ระดับความเข้มข้นต่างๆ<br>สภาวะการทดลองคือ $C_{30}$ Column, Flow rate 1.0 ml/min, hexane-acetone<br>(70:30) ความยาวคลื่น 480 นาโนเมตร | 27   |
| 4.8 แสดงตัวอย่างโครงมาโทแกรมในสภาวะการทดลองต่างๆของการหาปริมาณเบต้า-<br>แครอทีน และแอกสตาแซนทินในเวลาเดียวกัน   | 28   |
| 4.9 แสดงกราฟนำตຽานของเบต้า-แครอทีน ช่วงความเข้มข้น 3 – 10 ppm<br>(ก) ที่ความยาวคลื่น 450.5 นาโนเมตร (ข) ที่ความยาวคลื่น 473.5 นาโนเมตร  | 31   |
| 4.10 แสดงกราฟนำตຽานของแอกสตาแซนทิน ช่วงความเข้มข้น 2 – 10 ppm<br>(ก) ที่ความยาวคลื่น 450.5 นาโนเมตร (ข) ที่ความยาวคลื่น 473.5 นาโนเมตร  | 32   |
| 4.11 แสดงโครงมาโทแกรมของสารสกัดจากแครอท โดยวิธีการเตรียมแบบต่างๆ สภาวะ<br>ของการทดลอง : $C_{30}$ Column, hexane:acetone(70:30), Flow rate 1.0 ml/min  | 34   |
| 4.12 แสดงโครงมาโทแกรมของสารสกัดจากแครอทเมื่อใชตัวทำละลายสกัดชนิดต่างๆใน<br>การสกัด สภาวะการทดลองคือ $C_{30}$ Column, hexane:acetone (70:30) Flow rate<br>1.0 ml/min                           | 36   |

## บทที่ 1

### บทนำ

#### 1.1 หลักการและความเป็นมาของงานวิจัย

แครอทินอยด์จัดเป็นกลุ่มสารไฟโตเคมีคอล(phytochemical)ที่พบในธรรมชาติทั้งพืชและสัตว์ สารประกอบในกลุ่มนี้มีมากกว่า 600 ชนิด ซึ่งล้วนแล้วแต่มีผลต่อกลไกสำคัญในร่างกายมนุษย์ โดยบางส่วนสามารถทำหน้าที่เป็นสารต่อต้านอนุมูลอิสระ(antioxidant) แต่มีเพียง 50 ชนิดเท่านั้นที่มีคุณสมบัติเป็นโปรวิตามินเอ(provitamin A) โปรวิตามินเอที่รู้จักกันดีคือ เบต้า-แครอทีน( $\beta$ -carotene) และแอลfa-แครอทีน( $\alpha$ -carotene) โดยร่างกายมนุษย์จะสามารถเปลี่ยนสารในกลุ่มแครอทินอยด์ไปเป็นวิตามินเอได้ประมาณ 10% ของแครอทินอยด์ที่ได้รับทางอาหารในลำไส้เล็กและตับ และกระจายตัวในร่างกายได้ประมาณ 25% ของวิตามินเอทั้งหมด ซึ่งจะเห็นได้ว่าปริมาณวิตามินเอที่ร่างกายสามารถได้รับจากอาหารในกลุ่มแครอทินอยด์ทั้งหมดที่รับประทานมีปริมาณที่น้อยมาก ดังนั้นควรมีการส่งเสริมการบริโภคสารในกลุ่มนี้ให้เพียงพอ โดยแหล่งอาหารธรรมชาติของสารแครอทินอยด์มีอยู่มากน้อยทั้งจากพืชและสัตว์ เช่น แครอท มะเขือเทศ ปลากะลุบอน ปลาทับทิม กุ้ง ไข่ไก่ เป็นต้น ซึ่งปริมาณแครอทินอยด์จากสัตว์นั้นจะมีมากหรือน้อยนั้นขึ้นอยู่กับอาหาร สิ่งแวดล้อมและธรรมชาติของสัตว์ ซึ่งโดยธรรมชาติแล้วแครอทินอยด์ เป็นสารที่พืชและสาหร่ายบางชนิดสามารถสร้างขึ้นเองได้ ซึ่งสัตว์ไม่สามารถสังเคราะห์แครอทินอยด์ได้ จึงจำเป็นต้องรับสารเหล่านี้จากพืชบางชนิด (Britton *et al.* 1995) ดังนั้นหากส่งเสริมให้มีการผลิตอาหารสัตว์ซึ่งมีส่วนผสมของแครอทินอยด์ ปริมาณสูงจากพืชที่ไม่มีค่าทางเศรษฐกิจ และหาได้ยากในท้องถิ่น ก็จะประโยชน์อย่างมาก

จากปัญหาและแนวคิดดังกล่าว ผู้วิจัยจึงสนใจศึกษาปริมาณสารในกลุ่มแครอทินอยด์ในพืชบางชนิด เพื่อเป็นข้อมูลเบื้องต้นในการนำไปใช้ประโยชน์เป็นอาหารสัตว์ และศึกษาการเตรียมสารตัวอย่างต่อการวิเคราะห์เชิงปริมาณของสารในกลุ่มแครอทินอยด์

## 1.2 วัตถุประสงค์ของงานวิจัย

1. ศึกษาแหล่งอาหารที่มีสารในกลุ่มแครอทีนอยด์ปริมาณสูง เพื่อส่งเสริมการบริโภค หรือเป็นแหล่งวัตถุดิบในการทำอาหารสัตว์
2. ศึกษาผลของการเตรียมสารตัวอย่าง และวิธีการสกัดสารในกลุ่มแครอทีนอยด์ต่อการวิเคราะห์เชิงปริมาณของสารในกลุ่มแครอทีนอยด์
3. ศึกษาการวิเคราะห์เชิงปริมาณของสารในกลุ่มแครอทีนอยด์

## 1.3 ประโยชน์ที่คาดว่าจะได้รับ

1. ทำให้ทราบปริมาณสารในกลุ่มแครอทีนอยด์ ในพืชตัวอย่างที่ศึกษา
2. ทำให้ทราบวิธีการเตรียมสารตัวอย่าง และวิธีการสกัดสารที่เหมาะสมสำหรับการวิเคราะห์ เชิงปริมาณของสารในกลุ่มแครอทีนอยด์
3. ทำให้ทราบวิธีการหาปริมาณของสารในกลุ่มแครอทีนอยด์

## 1.4 ขอบเขตของการวิจัย

ศึกษาผลของการเตรียมสารตัวอย่าง และวิธีการสกัดสารเบต้า-แครอทีน และแอสตาแซนทิน ซึ่งใช้เป็นตัวแทนของสารในกลุ่มแครอทีนอยด์ ต่อการวิเคราะห์เชิงปริมาณ ด้วยเทคนิคไฮเพอร์ฟอร์มานลิควิดクロมาโทกราฟี (high-performance liquid chromatography; HPLC)

วิเคราะห์หาปริมาณเบต้า-แครอทีน และแอสตาแซนทิน(astaxanthin) ซึ่งใช้เป็นตัวแทนของสารในกลุ่มแครอทีนอยด์ ด้วยเทคนิคHPLC และเทคนิคอัลตราไวโอเลต-วิสิเบิล สเปกโกรโฟโตมิทรี (Ultraviolet-Visible spectrophotometry)

## บทที่ 2

### เอกสารและงานวิจัยที่เกี่ยวข้อง

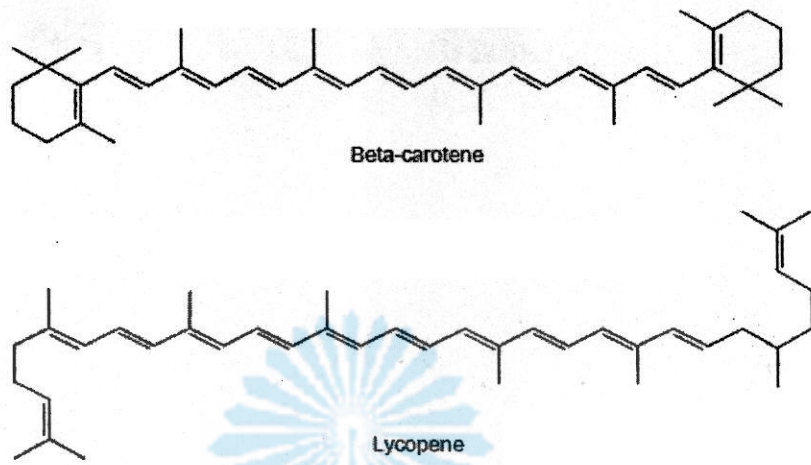
#### 2.1 เอกสารที่เกี่ยวข้องกับแครอทินอยด์

แครอทินอยด์เป็นสารสี (pigment) ธรรมชาติที่พบได้ทั้งในพืช และสัตว์ รวมทั้งสาหร่ายทะเล แบคทีเรียที่สามารถสังเคราะห์แสงได้ ยีสต์ และเชื้อร้า สารประกอบของแครอทินอยด์ส่วนใหญ่มีสี แดง ส้ม และเหลือง ละลายน้ำได้ในไขมัน พบมากในใบพืช ผลไม้ ดอกไม้ แมลง ปลาแซมอน นกที่มีสี บางชนิด เช่น นกฟลามิงโก และสัตว์น้ำที่มีกระดอง สารประกอบกลุ่มนี้มีมากกว่า 600 ชนิด(Ong A.S.H., และ Tee, E.S., 1992) ซึ่งล้วนแล้วแต่มีผลต่อออกไลสำคัญในร่างกาย โดยบางส่วนสามารถ ทำหน้าที่เป็นสารต่อต้านอนุมูลอิสระ(antioxidant) แต่มีเพียงประมาณ 50 ชนิดเท่านั้นที่มีคุณสมบัติ เป็นป्रวิตามินเอก

โครงสร้างโมเลกุลของแครอทินอยด์ประกอบด้วยหน่วยไอโซพรีน (isoprene unit) จำนวน 8 หน่วย ที่เกิดพันธะโค华เดนติกัน และทำให้เกิดคอนจูเกชันของพันธะคู่เป็นสายยาว(extensive conjugated double bond) ซึ่งระบบคอนจูเกชันนี้เองที่ทำให้แครอทินอยด์สามารถดูดกลืนพลังงาน แสงอัลตราไวโอเลต และแสงสีขาว และทำให้แครอทินอยด์เป็นสารที่มีสีและมีคุณสมบัติในการต้าน ปฏิกิริยาออกซิเดชัน

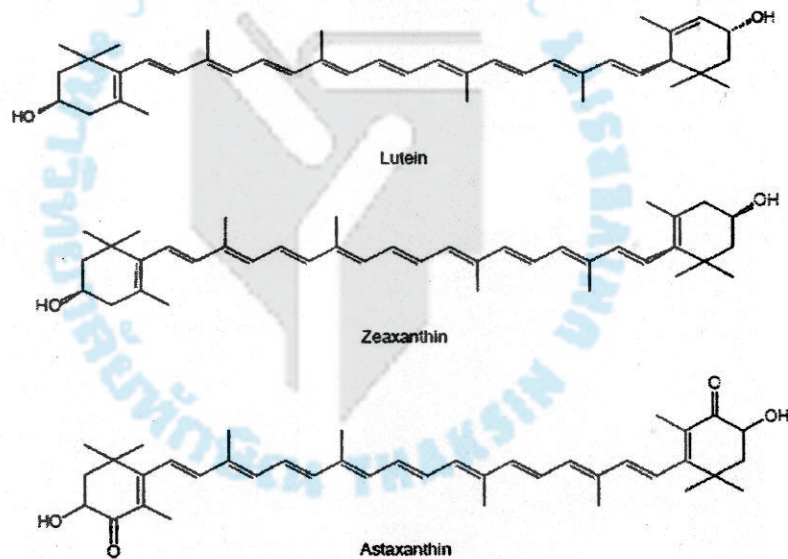
โมเลกุลของแครอทินอยด์อาจเป็นเส้นตรง ดังที่พบในไลโคพีน(lycopene) หรือเป็นวงแหวน (ring) ที่ปลายใช้ของโมเลกุล ดังที่พบในเบต้า-แครอทีน ซึ่งสามารถแยกแครอทินอยด์เป็น 2 กลุ่ม คือ

1. กลุ่มอนุพันธ์แครอทินอยด์ที่ถูกแทนที่ด้วยไฮโดรเจน(hydrogenated carotenoid derivatives) เรียกว่ากลุ่มแครอทีน (carotene) เป็นโมเลกุลที่ประกอบด้วยสายไอโซครานบอน (hydrocarbon) ทำให้เป็นสารไม่มีสี และละลายได้ในไขมัน แครอทีนของพืชสามารถถูกสังเคราะห์ไปเป็นวิตามิน เอ ในร่างกายสัตว์ได้ พบมากในพืชและสาหร่ายทุกชนิด ตัวอย่างแครอทินอยด์ในกลุ่มนี้ ได้แก่ เบต้า-แครอทีน และ ไลโคพีนเป็นต้น (รูปที่ 2.1)



รูปที่ 2.1 โครงสร้างทางเคมีของ hydrogenated carotenoid derivatives

2. กลุ่มอนุพันธ์ oxygenated carotenoid derivatives หรือเรียกว่า กลุ่มแซนโทฟิล (xanthophyll) มีอะตอมของออกซิเจนอยู่ในไมเลกุล จึงมีขั้วมากกว่าและละลายในไขมันได้น้อยกว่า แคโรทีนอยด์กลุ่มแรก ละลายได้ในเอทิลแอลกอฮอล์ และเอทิลเอเทอร์ พบมากในพืชโดยทั่วไป และส่วนร่ายทุกชนิด ตัวอย่างแคโรทีนอยด์ในกลุ่มนี้ได้แก่ ลูทีน (lutein) ซีแซนทิน (zeaxanthin) และแอสตาแซนทิน (astaxanthin) เป็นต้น (รูปที่ 2.2)



รูปที่ 2.2 โครงสร้างทางเคมีของ oxygenated carotenoid derivatives

## ความสำคัญของแครอทินอยด์

สิ่งมีชีวิตที่ใช้ออกซิเจนในการหายใจและเมแทบอลิซึมเพื่อให้ได้พลังงานในการดำเนินชีวิต และการทำงานของอวัยวะต่าง ๆ นั้น ในระหว่างกระบวนการสร้างพลังงาน จะเกิดอนุมูลอิสระขึ้นมา ด้วย ซึ่งเป็นอนุภาคที่มีพลังงานสูง และสามารถเกิดปฏิกิริยาเคมีได้ง่าย โดยเฉพาะสารเคมีในร่างกาย เช่น ไขมัน คาร์บอไฮเดรต โปรตีน และ DNA ทำให้การทำหน้าที่ของอวัยวะต่าง ๆ ที่มีสารเหล่านี้เป็นองค์ประกอบเปลี่ยนแปลงไป นอกจากอนุมูลอิสระที่เกิดขึ้นภายในร่างกายแล้ว ยังมีอนุมูลอิสระและสิ่งกระตุ้นจากภายนอกที่ทำอันตรายต่อเซลล์และเนื้อเยื่อได้ เช่น การสูบบุหรี่ รังสีอัลตราไวโอลেต รังสีเอกซ์ กลิ่นอาย ความเครียด และการสัมผัสกับสารเคมีอันตรายต่าง ๆ มีการวิจัยพบว่าปฏิกิริยาออกซิเดชันในร่างกายอันเนื่องมาจากออกซิเจนและอนุมูลอิสระมีความสัมพันธ์กับอัตราเร็วของการเกิดความแก่(aging process) และโรคเรื้อรังต่าง ๆ ในการพยายามชะลอความแก่ และลดอัตราเสี่ยงต่อเกิดโรคเรื้อรังต่าง ๆ

แครอทินอยด์น่าจะเป็นทางเลือกหนึ่ง เพราะแครอทินอยด์เป็นสารต้านอนุมูลอิสระที่มีประสิทธิภาพสูงโดยเฉพาะ เบต้า-แครอทีน ไลโคพีน และลูทิน อีกทั้งสามารถรับประทานได้ง่าย และราคาไม่แพง มีรายงานว่าแครอทินอยด์ช่วยในการป้องกันการเกิดโรคหัวใจ โรคมะเร็ง ชาลและความแก่ และป้องกันความผิดปกติของผิวนังอันเนื่องมาจากแสงแดด เพราะนอกจากแครอทินอยด์ เป็นสารต้านปฏิกิริยาออกซิเดชันแล้ว ยังช่วยเพิ่มการสื่อสารระหว่างเซลล์ มีฤทธิ์ต้านการอักเสบ เพิ่มการกำจัดสิ่งแปลกปลอมออกจากร่างกาย และเพิ่มนภัยต้านทานด้วย สารกู้ณแครอทินอยด์ที่ มีประสิทธิภาพสูงและมีความสำคัญต่อการสร้างเสริมสุขภาพของมนุษย์ ได้แก่ เบต้า-แครอทีน ลูทิน ซีแซนทิน ไลโคพีน และแอกโซดานทิน

### 1) เบต้า-แครอทีนและวิตามินเอ

เบต้า-แครอทีนพบมากในพืชที่มีสีเหลือง และสีส้ม เช่น หัวแครอท หัวผักกาดแดง มะเขือเทศ เป็นต้น เป็นสารตั้งต้นในการสังเคราะห์วิตามินเอ โดยร่างกายมนุษย์สามารถเปลี่ยน 9-cis-beta-carotene ไปเป็นวิตามินเอที่ตับและลำไส้ด้วยเอนไซม์ 15,15'-beta-carotenoid dioxygenase ซึ่ง วิตามินเอ เป็นสารที่มีความสำคัญต่อการมองเห็น การสร้างสมเปร์ม การสร้างกระดูกและฟัน การซ่อมแซมเนื้อเยื่อ และสุขภาพของผิวพรรณ เบต้า-แครอทีนตามธรรมชาติ มี 2 ไอโซเมอร์ คือ *trans*-isomers และ *cis*-isomers และพบว่าเฉพาะ 9-cis betacarotene เท่านั้นที่สามารถเปลี่ยนแปลง เป็นเรตินอลหรือวิตามินเอได้

เบต้า-แคโรทีนยังใช้ในการรักษาโรคบางชนิด เช่น โรคกระดูก ความผิดปกติของผิวหนังอันเนื่องมาจากการไว้อต่อแสง ซึ่งการที่ผิวหนังมีความไว้อต่อแสงจะกระตุ้นให้มีการสร้างพอลิฟอร์บิน (porphyrins) ที่ผิวหนังซึ่งจะดูดกลืนพลังงานจากแสงและทำให้เกิดอนุมูลอิสระ และอนุมูลอิสระที่เกิดขึ้นจะทำลายเซลล์และทำให้เกิดการอักเสบของเนื้อเยื่อ การได้รับเบต้า-แคโรทีนจะทำให้อาการเจ็บปวดลดลง เนื่องจากเบต้า-แคโรทีนไปหยุดปฏิกิริยาของอนุมูลอิสระ โดยใช้กลไกทางฟิสิกส์ โดยอนุมูลอิสระที่มีพลังงานสูง (singlet state,  ${}^1\text{O}_2^*$ ) ถ่ายเทพลังงานให้กับเบต้า-แคโรทีนซึ่งมีอิเล็กตรอนในโครงสร้างสูงและสามารถดูดกลืนพลังงานได้ดี ( ${}^1\text{Car}$ ) ได้ผลิตภัณฑ์ของออกซิเจนที่มีพลังงานต่ำลง (triplet state,  ${}^3\text{O}_2$ ) และเบต้า-แคโรทีนพลังงานสูง (triplet state,  ${}^3\text{Car}^*$ ) จากนั้นเบต้า-แคโรทีน decay พลังงานออกมานຽปความร้อน จะเห็นว่าในการทำการหยุดยั้งปฏิกิริยาของอนุมูลอิสระ โครงสร้างของเบต้า-แคโรทีนไม่มีการเปลี่ยนแปลง เพราะใช้กลไกทางฟิสิกส์ ไม่ใช้กลไกทางเคมี



แคโรทีนอยด์ยังสามารถช่วยป้องกันโรคหัวใจ โดยยับยั้งการเกิดปฏิกิริยาออกซิเดชันของ LDL การมีตุห์เป็นสารต้านออกซิเดชันของเบต้า-แคโรทีนและแคโรทีนอยด์ตัวอื่น ๆ ยังช่วยลดอัตราการเกิดโรคมะเร็ง มีการศึกษาพบว่า การรับประทานผัก ผลไม้ ที่มีแคโรทีนอยด์ปริมาณสูงจะแพร่ผ่านกับอัตราการเกิดโรคมะเร็งปอด หลอดลม กระเพาะอาหารลำไส้ใหญ่ รังไข่ และคออย่างไรก็ตาม เมื่อให้เบต้า-แคโรทีน กับผู้ที่สูบบุหรี่ พบร่วมกับการตายและอัตราการเกิดมะเร็งปอดเพิ่มขึ้นเมื่อเทียบกับผู้ที่ไม่ได้รับเบต้า-แคโรทีน ซึ่งผลการศึกษานี้สรุปว่า เบต้า-แคโรทีนไปเพิ่มอัตราการเกิดมะเร็งปอดในคนสูบบุหรี่ และผลการศึกษาต่อมามาในผู้ที่ไม่สูบบุหรี่ พบร่วมกับเบต้า-แคโรทีนไม่เพิ่มอัตราการเกิดมะเร็งปอด ซึ่งผลการวิจัยเหล่านี้ให้เห็นว่าการสูบบุหรี่ร่วมกับการได้รับเบต้า-แคโรทีนจะทำให้อัตราการเกิดมะเร็งปอดสูงขึ้น ซึ่งอาจเป็นผลมาจากการเบต้า-แคโรทีนไปเพิ่มการดูดซึมของสารก่อมะเร็งจากบุหรี่ และทำให้มีการสะสมของสารก่อมะเร็งที่ปอดมากขึ้น

## 2) ลูทีนและซีแซนทิน

ลูทีนและซีแซนทินเป็นสารในกลุ่มแซนโกลฟิล คือมีอะตอนออกซิเจนอยู่ในโมเลกุล โครงสร้างทางเคมีของลูทีนและซีแซนทินมีความเหมือนกันมาก แตกต่างกันเพียงพันธุ์ที่อยู่บนวงแหวนที่อยู่ส่วนปลายเท่านั้น (รูปที่ 2.2) ซึ่งความแตกต่างนี้เอง ที่ทำให้ลูทีนและซีแซนทินมีจำนวนไอโซเมอร์ต่างกัน โดยลูทีนมีสเตอโริไอโซเมอร์ได้ถึง 8 ไอโซเมอร์ ส่วนซีแซนทินมีเพียง 3 ไอโซเมอร์ ลูทีนและซีแซนทินดูดซึมได้ดีกว่าเบต้า-แคโรทีนทั้งในรูปปกติและในรูปเอสเทอร์ โดยในรูปเอสเทอร์จะดูดซึมได้เมื่อให้พร้อมกับอาหารที่มีไขมันสูง ลูทีนและซีแซนทินในอาหารมีบทบาทในการป้องกันโรคต่า

ต่างๆ เช่น โรคตาบอดเนื่องจากการเสื่อมสภาพของแมคคูลาลูเทีย (macula lutea) ในผู้สูงอายุ โรคต้อกระจก เป็นต้น

ลูทีนและซีแซนทินพบสารสำคัญในส่วนแมคคูลาลูเทียของเรตินา โดยแมคคูลาลูเทียเกี่ยวข้องกับการมองเห็นและทำหน้าที่กรองแสงสีน้ำเงิน ป้องกันการทำลายตัวรับแสง(photoreceptor) จากพลังงานแสงของแสงสีน้ำเงิน และยังช่วยคงสภาพความสมบูรณ์ของเรตินาด้วย ซึ่งแครอทีนอยด์เหล่านี้ ไม่สามารถสร้างขึ้นได้เองจากร่างกายมนุษย์ แต่จะต้องได้รับจากอาหารที่มีแครอทีนอยด์ปริมาณสูง ลูทีนและซีแซนทินยังป้องกันการทำลายเรตินาด้วยการเป็นสารต้านออกซิเดชัน ปัจจัยเสี่ยงของโรค AMD คือ อายุ (อายุมากกว่าหรือเท่ากับ 65 ปี) การรับประทานผักและผลไม้ในปริมาณต่ำ การสูบบุหรี่ การดื่มเครื่องดื่มแอลกอฮอล์ การสัมผัสดกับแสงมากเกินไป และการลดลงของประสิทธิภาพการต้านปฏิกิริยาออกซิเดชันในร่างกาย โรค AMD เป็นสาเหตุสำคัญของโรคตาบอดในผู้ที่มีอายุตั้งแต่ 65 ปีขึ้นไป แต่อย่างไรก็ตาม โรค AMD สามารถป้องกันได้ มีการศึกษาพบว่า การรับประทานผัก ผลไม้ ที่มีปริมาณของแครอทีนอยด์สูง มีความสัมพันธ์กับการลดลงของการเกิดโรค AMD และโรคต้อกระจก และมีรายงานว่า การรับประทานผักชนิดช่วยลดอัตราการเกิด AMD ได้มากที่สุด เมื่อเทียบกับการได้รับแครอทีนอยด์จากอาหารแหล่งอื่น และจากการวิเคราะห์ haberman แครอทีนอยด์ในเลือด พบว่า การมีลูทีนและซีแซนทินในเลือดสูงสัมพันธ์กับการลดลงของโอกาสการเกิดAMD ต้อกระจกเป็นโรคจากการรุนแรงของเลนส์ตา เนื่องจากอายุมากขึ้นและบดบังการมองเห็น มีรายงานว่า การรับประทานอาหารที่มีแครอทีนอยด์ปริมาณสูง โดยเฉพาะลูทีนและซีแซนทินจะลดอัตราการเกิดต้อกระจก และมีรายงานวิจัยสนับสนุนว่าในกลุ่มคนที่รับประทานผักชนิดบาร์บอคโคลี จะลดอัตราการผ่าตัดต้อกระจกมากที่สุด

### 3) ไลโคพีน

ไลโคพีนเป็นสารที่มีสีแดงส้ม พบรากในมะเขือเทศ และยังพบได้ในแตงโม ญี่ปุ่นแดง มะละกอ และพรั่งสีแดง เป็นแครอทีนอยด์ที่พบได้มากที่สุดในกระแสเลือด อาจพบที่บริเวณอีน่า ด้วย เช่น อันชา ต่อมหมากไต ตับ ต่อมลูกหมาก เต้านม ตับอ่อน และผิวนัง เนื่องจากไลโคพีนมีโครงสร้างไม่เลกุลเป็นโซ่อร์ก (รูปที่ 2.1) และเป็นสารที่ไม่มีข้อจึงคุดซึ่งได้ไม่ดี แต่ถ้าผ่านการปูรณาด้วย ความร้อนแล้วจะคุดซึ่งดีขึ้น ดังเห็นได้จากการคุดซึ่งไลโคพีนจากมะเขือเทศสด ในระดับที่ต่ำกว่า จำกะมะเขือเทศที่ผ่านการปูรณาแล้ว เนื่องจากการประกอบอาหารด้วยความร้อนจะทำให้ไลโคพีนที่อยู่ในรูป *trans*-lycopeneเปลี่ยนเป็น *cis*-lycopene ซึ่งในรูป *cis*-lycopene จะคุดซึ่งได้ดีกว่า *trans*-lycopene และการผสมน้ำ มันพืชในขณะที่ประกอบอาหารที่มีซอสมะเขือเทศ จะทำให้คุดซึ่งไลโคพีนได้ดีกว่าจากอาหารที่มีซอสมะเขือเทศอย่างเดียว ไลโคพีนสามารถยับยั้งออกซิเจนพลังงาน

สูง (singlet state,  ${}^1\text{O}_2^*$ ) ได้มากที่สุดในบรรดาสารกลุ่มแครอทีนอยด์ด้วยกัน และยับยั้งการแพร่กระจายของเซลล์มะเร็งได้ดีกว่าทั้งแอปพาแครอทีนและเบต้า-แครอทีน และคาดว่าไลโคพีนสามารถยับยั้งการเกิดโรคหัวใจและโรคมะเร็งโดยการยับยั้งการเกิดปฏิกิริยาออกซิเดชันของไขมันบนเมมเบรน DNA รวมทั้ง LDL และไม่เลกฤทธิ์ ที่ถูกทำลายได้ด้วยปฏิกิริยาออกซิเดชัน โดยไลโคพีนจะจับอนุมูลอิสระและไปสละเทินความไวในการเกิดปฏิกิริยาของอนุมูลอิสระเหล่านั้น มีรายงานวิจัยว่าการลดลงของอัตราเสี่ยงในการเกิดมะเร็งต่อมลูกหมาก มะเร็งปอด และมะเร็งกระเพาะอาหาร มีความสัมพันธ์อย่างมีนัยสำคัญกับการรับประทานมะเขือเทศ สำหรับการป้องกันโรคหัวใจ พบว่ากลุ่มตัวอย่างที่มีไลโคพีนสะสมในเนื้อเยื่อไขมันในบริเวณสูงจะมีอัตราเสี่ยงในการเกิดโรคหัวใจที่ต่ำลง ไลโคพีนยังช่วยป้องกันการเกิดออกซิเดชันขันเนื่องจากการกระตุ้นของแสงบนผิวน้ำ และให้ผลตีกราเบตต้า-แครอทีน

#### 4) แอก索ต้าแซนทิน

แอก索ต้าแซนทิน ( $3, 3'\text{-dihydroxy-}\beta\text{-}\beta\text{-carotene-4, 4'-dione}$ ) เป็นสารในกลุ่มแครอทีนอยด์ที่มีคุณสมบัติแอนติออกซิเดนต์ (anti-oxidant) ซึ่งเป็นสารประกอบที่ละลายในไขมัน มีสีแดง เกิดขึ้นตามธรรมชาติในสิ่งมีชีวิต เช่น พืช สาหร่าย และสัตว์ทั่วไป พากกุ้ง หอย สาหร่ายชนิดต่างๆ และพบมากในดอกไม้ ผลไม้สุกที่มีสีส้มและสีแดง โดยเฉพาะของแอก索ต้าแซนทินมีลักษณะคล้ายกับเบตต้า-แครอทีน โดยมีความแตกต่างกันเพียงเล็กน้อย ตั้งรูปที่ 2.1 ซึ่งนำไปสู่คุณสมบัติทางเคมีที่แตกต่างเป็นอันมาก ถึงแม้ว่าการนำแอก索ต้าแซนทินมาใช้ในฟาร์ม จะเป็นที่แพร่หลายในปัจจุบัน แต่การใช้แอก索ต้าแซนทินเป็นสารแอนติออกซิเดนต์ ในมนุษย์ยังอยู่ในขั้นเริ่มต้นเท่านั้น

แอก索ต้าแซนทินเป็นรงควัตถุสีแดงพบท้าไปในสิ่งมีชีวิต ซึ่งจะเห็นว่าเมื่อประกอบอาหารจากสัตว์เหล่านี้จะเห็นเป็นสีแดงที่เปลี่ยนไปเป็นสีขาวหรือกระดองของปู นอกจากรักษาอยู่แล้ว สีของปลาชนิดต่างๆ ก็มักจะเป็นสีของแอก索ต้าแซนทิน เช่น ปลาแซลมอนก็มีสีชมพูของแอก索ต้าแซนทินเช่นเดียวกัน ด้วยเหตุนี้ในฟาร์มสัตว์น้ำจึงมีการให้อาหารที่มีส่วนผสมของแอก索ต้าแซนทิน เพื่อช่วยเพิ่มสีแกสัตว์น้ำ นอกจากนี้แอก索ต้าแซนทินยังมีส่วนสำคัญต่อการเจริญเติบโต และการดำรงชีวิตของสัตว์เหล่านี้ด้วย (Torrisen, O.J., 1995)

โดยธรรมชาติแล้วแครอทีนอยด์ เป็นสารที่พืชและสาหร่ายบางชนิดสามารถสร้างขึ้นเองได้ ซึ่งสัตว์ไม่สามารถสังเคราะห์แครอทีนอยด์ได้ จึงจำเป็นต้องรับสารเหล่านี้จากพืชบางชนิด (Britton, G., 1995) การผลิตแอก索ต้าแซนทินจากสาหร่าย *Haematococcus pluvialis* ถือเป็นแหล่งทางการค้าที่สำคัญของโลก นอกจากนี้แอก索ต้าแซนทิน ยังสามารถผลิตได้จากการหมักของเชื้อรา *Xanthophyllumyces dendrorhous* หรือการสกัดจากสัตว์มีเปลือกหุ้ม และการสังเคราะห์ทางเคมี

## ประโยชน์ของแอกสต้าแซนทิน

### 1) ใช้ผสมอาหารสัตว์

แอกสต้าแซนทินเป็นวงค์ตุพื้นฐานที่พบได้ในเนื้อสัตว์จำพวกแซลมอน(salmonids) ได้แก่ ปลาแซลมอนและปลาเทราท์ และสัตว์ที่มีกระดอง (crustaceans) เช่น กุ้ง กั้ง และปูชนิดต่างๆ ซึ่งตามธรรมชาติแล้วสัตว์เหล่านี้จะได้รับวงค์ตุนี้จากอาหารที่มีอยู่อย่างจำกัด ทำให้สีของเนื้อสัตว์ มีสีสันดีดงามไม่สวยงามและขยายได้ในราคาน้ำด้วยการเพิ่มสีสันด้วยงาน และขยายได้ในราคากู สูง ซึ่งมีคำแนะนำให้ใช้แอกสต้าแซนทินประมาณ 20 ในโครงสร้างต่อกรัมของอาหารเลี้ยงปลาแซลมอน เป็นระยะเวลาประมาณ 2 – 4 เดือน ก็จะทำให้ปลามีสีสันสวยงาม (Johnson, E.A., et al., 1980) นอกจากจะช่วยในการ สร้างสีแล้ว แอกสต้าแซนทินยังช่วยให้ไข่ของปลาแซลมอน มีอัตราการรอต พักตัวได้ดี และยังกระตุนให้ปลาทำการเจริญเติบโตได้ดี

สำหรับคุณภาพรวมสัตว์ปีก มีการทดลองใช้แอกสต้าแซนทินที่สกัดจากเปลือกกุ้งร่วมกับถูกทิน เพียงเล็กน้อยผสมลงในอาหารเลี้ยงสัตว์ พบว่าสามารถทำให้ได้ไข่แดงมีสีเหลืองมากขึ้น ความเข้มของสีจะใกล้เคียงกับที่ใช้ถูกทินปริมาณมากเพียงอย่างเดียว และเมื่อมีการใช้แอกสต้าแซนทินเพียงอย่างเดียวจะทำให้ไข่แดงมีสีชมพู ซึ่งจะไม่พบลักษณะของไข่แดงที่เป็นสีชมพูนี้ในอาหารเลี้ยงที่ผสม แอกสต้าแซนทินร่วมกับถูกทิน (Marusich และ Bauernfeind, 1989)

### 2) ใช้ผสมในอาหารมนุษย์

ใช้แอกสต้าแซนทินผสมในปูอัดทำให้ปูอัดมีสีแดงน่ารับประทานยิ่งขึ้น (สุดสายชล, 2541)

### 3) ใช้ในทางการแพทย์

Jyonouchi, H., et al. (1996) รายงานว่าแอกสต้าแซนทินสามารถเพิ่ม T-helper ในหมูได้สูงกว่าแครอทินอยด์ชนิดอื่นๆ โดยการเพิ่ม T-helper ทำให้หมูมีระบบภูมิคุ้มกันที่ดีขึ้น และนอกจากนี้พบว่าแอกสต้าแซนทินเป็นสารที่มีคุณสมบัติแอนติออกซิเดนท์สูงกว่าแครอทินอยด์อื่นๆ ทำให้เชื่อว่าสามารถป้องกันการเกิดโรคมะเร็งและเนื้องอกได้ เนื่องจากการเกิดโรคมะเร็งและเนื้องอกนั้นมีอนุมูลอิสระเป็นจุดเริ่มต้นและส่งเสริมการเกิดเซลล์มะเร็ง ดังนั้นการที่แอกสต้าแซนทินมีสมบัติเป็นแอนติออกซิเดนท์ที่สูง จึงมีส่วนช่วยกำจัดอนุมูลอิสระได้ดี และทำให้สามารถป้องกันการเกิดโรคดังกล่าวได้

## 2.2 งานวิจัยที่เกี่ยวข้องกับแครอทีนอยด์

ผักและผลไม้ชนิดต่างๆมีองค์ประกอบของชนิดและปริมาณแครอทีนอยด์แตกต่างกัน รวมทั้งสารประกอบอื่นๆด้วย ซึ่งความแตกต่างนี้ส่งผลถึงอิทธิพลต่อการสกัดและการวิเคราะห์เชิงปริมาณของสารแครอทีนอยด์ การเตรียมตัวอย่างเพื่อวิเคราะห์แครอทีนอยด์ ส่วนใหญ่ต้องผ่านการเตรียมสารโดยวิธีการสกัด เพื่อกำจัดเมตทริกซ์(matrix) ในตัวอย่างก่อนไปวิเคราะห์สารด้วย HPLC เอกสารงานวิจัยหลายเรื่องแสดงให้เห็นถึงวิธีการสกัดสารจากตัวอย่างชนิดต่างๆด้วยตัวทำละลายเดียว หรือตัวทำละลายผสม ดังในตารางที่ 2.1 (Taungbodhitham, A. K. et al., 1998)

ตารางที่ 2.1 สรุปวิธีการสกัดที่ใช้สำหรับเตรียมตัวอย่างผลไม้และผัก

| สารแครอทีนอยด์   | ตัวอย่าง   | ตัวทำละลาย   | งานวิจัย  |
|--|------------|--|---|
| $\alpha$ , $\beta$ -carotene and cryptoxanthin                             | น้ำส้ม     | petroleum ether: isopropanol (1:3), diethyl ether <sup>a</sup>   | Reeder, S. K. and Park, G. L. (1975)                              |
| $\alpha$ , $\beta$ , $\gamma$ -carotene, $\alpha$ , $\beta$ -cryptoxanthin | น้ำส้ม     | dichloroethane: methanol (1:1), hexane, diethyl ether <sup>a</sup>   | Stewart, I. (1977)  |
| $\alpha$ , $\beta$ -carotene, lycopene                                     | มะเขือเทศ  | acetone, petroleum ether <sup>a</sup>  | Zakaria, M. et al., 1979  |
| $\beta$ -carotene  | พืชสด      | acetone: hexane (2:3), acetone, hexane or ethanol: hexane (4:3), ethanol, hexane                             | Association of Official Analytical Chemists, 1984, Section 43.015 |
| $\alpha$ , $\beta$ -carotene   | ผลไม้, ผัก | Tetrahydrofuran<br>(สำหรับแครอทีนปริมาณสูง)<br>tetrahydrofuran, petroleum ether<br>(สำหรับแครอทีนปริมาณน้อย) | Bushway, R. J. and Wilson, A.M. (1982)                            |
| $\alpha$ , $\beta$ -carotene   | ผลไม้, ผัก | tetrahydrofuran  | Bushway, R. J. 1985   |
| $\alpha$ , $\beta$ -carotene   | ผลไม้, ผัก | acetone:petroleum ether (1:1)  | Hsieh, Y. P. C. and Karel, M. (1983)                              |
| carotenoids  | ผัก        | acetone, methanol:acetone (1:1)<br>acetone, diethyl ether <sup>a</sup>                                       | Noga, G. and Lenz, F. (1983)                                      |

หมายเหตุ <sup>a</sup> การนำสารสกัดทำปฏิกิริยา saponification

งานวิจัยที่เกี่ยวข้องกับการวิเคราะห์สารแครโนออยด์โดยส่วนใหญ่นักใช้ HPLC ใน การวิเคราะห์เนื่องจากเป็นเทคนิคที่สามารถแยกสารแครโนออยด์ที่มีโครงสร้างคล้ายคลึงออกจากกันได้ทั้งยังสามารถวิเคราะห์สารในปริมาณน้อยได้อย่างรวดเร็ว เช่น

Abushita, A.A., et al. (1997). วิเคราะห์หน้าแครโนออยด์ที่มีคุณสมบัติอนติออกซิเดนท์ในมะเขือเทศ โดยใช้เทคนิค HPLC เพื่อให้มีประสิทธิภาพในการแยกหาปริมาณแครโนออยด์ได้ใกล้เคียงกันในพืชชนิดเดียวกันแต่เพาะปลูกในพื้นที่ต่างกัน ในประเทศไทยปี ค.ศ.1995 ซึ่งใน การวิเคราะห์หน้าแครโนออยด์ด้วย HPLC จะใช้คอลัมน์ Chromsil C-18 และใช้ Acetonitrile – isopropanol-methanol-H<sub>2</sub>O ในอัตราส่วน 39:52:5:4 เป็นตัวชี้ อัตราการไหลเท่ากับ 0.9-1.2 ml/min โดยใช้ดิจิตอลเรอร์ในช่วงวิสิเบิลที่ความยาวคลื่น 440 nm

Hodisan, T., et al. (1997). วิเคราะห์หน้าแครโนออยด์ในผลไม้จำพวก Rosa canina (Rosaceae) ในสารสกัดทั้งหมดและสารสกัด 3 ส่วนที่แตกต่างกันจากการแยกสารบนอัลูมินา คอลัมน์ แล้วใช้สารตัวชี้ 100% petroleum ether (ส่วนที่ 1), petroleum ether-ethyl ether(1:1) (ส่วนที่ 2) และ ethanol 5%(v/v) ใน ethyl ether (ส่วนที่ 3) และทำการเปรียบเทียบผลการทดลอง ระหว่างวิธี TLC และ HPLC ดังนี้

- วิธี TLC แบ่งการสกัดทั้งหมดเป็น 2 ขั้นตอน ก็คือ ขั้นที่ 1 ใช้ acetone ใน petroleum ether 15%(v/v) เป็นตัวทำละลาย และขั้นที่ 2 ใช้ petroleum ether 100% เป็นตัวทำละลาย
- วิธี HPLC ศึกษาทั้งระบบไอโซเครติก (isocratic) และระบบแกรเดียน (gradient) โดย ระบบแกรเดียนใช้เฟสเคลื่อนที่ผสม acetonitrile-methanol-ethyl acetate (70:10:9) ร่วมกับ TEA 1% เป็นตัวทำละลาย A รวมกับตัวทำละลาย B ประกอบด้วย methanol-acetonitrile-hexane-dichloromethane(50:12:10:8) ร่วมกับ TEA 0.5% ซึ่งมี โปรแกรมผสมระหว่างตัวทำละลาย A กับตัวทำละลาย B ด้วยอัตราการไหลของเฟส เคลื่อนที่เป็น 1.5 ml/min ดังนี้ 0-6 นาที ใช้ตัวทำละลาย A 100% 6-7.5 นาที เป็นตัวทำละลาย B จาก 0-100% 7.5-11 นาที เป็นตัวทำละลาย B 100% และ 11-13 นาที เป็นตัวทำละลาย B จาก 100-0%

การวิเคราะห์ด้วยวิธีทั้งสองทำให้ทราบว่ามีแครโนออยด์ที่เป็นองค์ประกอบหลักเป็น lycopene, β- carotene, β- chyptoxanthin, rubixanthin, zeaxanthin และ leutene

Otles, S. และ Atli, Y. (2000) ทำการวิเคราะห์เชิงคุณภาพและปริมาณหน้าแครโนออยด์ใน มะเขือเทศที่มีลักษณะขั้นเหนียว โดยเปรียบเทียบระหว่างวิธี HPLC และ OCC พบร่างการวิเคราะห์

ด้วยวิธี HPLC จะไม่มีปัญหาเรื่องของช่วงเวลา เพราะสารสกัดจะถูกจัดเข้าไปในระบบ HPLC อย่างรวดเร็ว และใช้เวลาในการวิเคราะห์น้อยกว่าวิธี OCC และวิธี HPLC จะมีสัญญาณตอบสนองที่สูงกว่า ดังจะเห็นได้จากค่า Recovery โดยวิธี HPLC จะมีค่าเท่ากับ 76.61% ส่วนวิธี OCC จะมีค่าเท่ากับ 75.90%

Lee, H.S., et al. (2001) ใช้วิธี HPLC เพื่อแยกและบอกชนิดของแครอทีนอยด์จากผลส้ม (New sweet orange, Earlygold) โดยใช้ hexane-acetone-ethanol ในการสกัดแครอทีนอยด์ และใช้ methanolic potassium hydroxide 10% ในการทำปฏิกิริยา Saponification ใช้ระบบแกรเดียน (acetronitrile-methanol, methyl tert-butyl ether และ  $H_2O$ ) ในการชำระผ่านคอลัมน์ สามารถแยกแครอทีนอยด์ออกมาได้ 25 ชนิด ภายในเวลา 40 นาที

Lin, C.H. และ Chen, B.H. (2005) ศึกษาความเสถียรของสารแครอทีนอยด์ในน้ำมะเขือเทศ ระหว่างการเก็บรักษา น้ำมะเขือเทศถูกเตรียมโดยการให้ความร้อนมะเขือเทศบดที่  $82^{\circ}C$  แล้วเพิ่มเป็น  $121^{\circ}C$ (40 วินาที) นำไปเก็บในที่มีดีแคลที่มีแสง ที่อุณหภูมิ 4, 25 และ  $35^{\circ}C$  เป็นเวลา 12 อาทิตย์ พบร่วมกันว่าปริมาณของ trans-lutein ทั้งหมดและ cis-isomers ลดลง เมื่อเวลาการเก็บเพิ่มขึ้น สำหรับทุกตัวอย่าง และยังพบว่าแสงเป็นปัจจัยที่เพิ่มการสลายตัวและการเกิดไอโซเมอร์ไวเรชัน (isomerization) ของ trans-lutein และ 13-cis-lutein ทั้งหมด รวมทั้ง  $\beta$ -carotene และ lycopene ด้วย แต่อย่างไรก็ได้ แสงมีส่วนช่วยในการกระตุ้นให้เกิด di-cis-, 9-cis- และ 13-cis- $\beta$ -carotene โดยพบร่วมกันว่า 15-cis-lycopene เป็นไอโซเมอร์หลักที่เกิดขึ้นระหว่างการเก็บในที่มีค่าที่  $4^{\circ}C$  ในขณะที่ 9-cis และ 13-cis-lycopene พบร่วมกันที่  $25^{\circ}C$  และ 5-cis- และ 13-cis-lycopene พบมากที่  $35^{\circ}C$  และเมื่อเก็บตัวอย่างในที่สัมผัสกับแสง พบร่วมกัน 9-cis- และ di-cislycopene(II) เป็นไอโซเมอร์ซึ่งพบมากที่  $35^{\circ}C$

## บทที่ 3

### วิธีดำเนินการวิจัย

#### 3.1 วัสดุอุปกรณ์และสารเคมี

##### วัสดุอุปกรณ์

1. เครื่อง liquid chromatography ของ Perkin Elmer รุ่น Esquire 3000 ประกอบด้วย Agilent 1000 series Variable Wavelength Detector, Agilent 1000 series Micro Vacuum Degasser, Agilent 1000 series Binary Pump
2. เครื่อง UV-Vis spectrophotometer ของ Shimadzu รุ่น UV-1670
3. เครื่องฟรีซไดร์ (Freeze Dryer - 1.5 litre รุ่น Freezone 4.5)
4. เครื่อง Rotary evaporator
5. เครื่อง Ultrasonic (Brason รุ่น 3210)
6. เครื่องกรองลดความดัน (Buchi รุ่น B-169 Vacuum - System)
7. ชุดกรองสารตัวอย่าง
8. กระดาษกรอง
9. เครื่องเซนติไฟว์
10. ขวดวัดปริมาตร
11. เครื่องบีบ
12. บีกเกอร์
13. ถ้วยแยก
14. แท่งแก้วคน
15. ข้อนตักสาร
16. หลอดน้ำยา
17. ปีเปต
18. ขวดตัวอย่างสีเขียว (vial)
19. แผ่นอะลูมิเนียมฟอยล์ (aluminium foil)
20. เครื่องคนสาร
21. ระบบอุ่นตัว

### สารเคมี

1. sodium hydrogen sulphate
2.  $\beta$ -carotene standard
3. Astaxanthin standard
4. Methanol
5. Ethanol
6. Acetone
7. Hexane
8. Acetonitrile
9. Ethyl ether
10. Diethyl ether
11. Isopropanol
12. Chloroform
13. Petroleum ether
14. Ethyl acetate
15. Dichloromethane
16. Potassium hydroxide
17. พิษตัวอย่าง ได้แก่ แครอท ดอกเต็ม ดอกดาวเรือง ดอกเพื่องฟ้า เปลือกข้างโพด เปลือกเมล็ด

สาหร้ายผมนาง

### 3.2 วิธีการทดลอง

#### 3.2.1 ศึกษาการเตรียมตัวอย่าง

##### วิธีทำ

- นำตัวอย่างแครอทประมาณ 500 กรัม มาศึกษาวิธีการเตรียมสารตัวอย่าง 3 แบบ โดยมีวิธีการดังนี้
  - วิธีที่ 1 การอบแห้ง : นำตัวอย่างมาอบให้แห้งในที่มีดี ด้วยอุณหภูมิ  $40^{\circ}\text{C}$  จนมีความชื้นเหลือน้อยกว่า 10% บดให้ละเอียด
  - วิธีที่ 2 วิธีฟรีซดรายน์ (freeze-dry) : นำตัวอย่างทำให้แห้งโดยใช้ freeze-dryer  $-53^{\circ}\text{C}$  จนมีความชื้นเหลือน้อยกว่า 10% บดให้ละเอียด
  - วิธีที่ 3 แบบสด : นำตัวอย่างประมาณ 500 กรัม บดให้ละเอียด
- นำตัวอย่างบดละเอียดมาสกัดโดยใช้ hexane-acetone-ethanol อัตราส่วน  $2 : 1 : 1$  เป็นตัวสกัด และทำการทดลองตามหัวข้อ 3.6.2
- นำมาหาปริมาณแอกสตาแซนทินเพื่อเปรียบเทียบผลการทดลอง โดยใช้เทคนิค HPLC มีสภาวะการทดลองคือ  $\text{C}_{30}$  Column, Flow rate  $1.0 \text{ ml/min}$ , hexane - acetone อัตราส่วน  $70:30$  ความยาวคลื่น  $480 \text{ นาโนเมตร}$

#### 3.6.2 ศึกษาการสกัดสารตัวอย่าง

เลือกวิธีการเตรียมตัวอย่างที่เหมาะสมจาก 3.6.1 แล้วทำการศึกษานิดตัวทำละลายที่ใช้ในการสกัดเพื่อเปรียบเทียบประสิทธิภาพในการสกัด ดังนี้

##### วิธีทำ

- นำตัวอย่างพืชสด manganese ให้ละเอียด
- นำตัวอย่างบดละเอียด น้ำหนักประมาณ 200 กรัม มาสกัดด้วย acetone-methanol-petroleum ether อัตราส่วน  $3:2:1$  เป็นเวลา 5 ชั่วโมง
- กรองสารสกัดหยาบ แล้วนำไปประเมินตัวทำละลายของด้วยการลดความดันให้แห้ง แล้วนำไปละลายใน diethyl ether
- ทำปฏิกิริยา saponification โดยเติม KOH-methanol ( $10:90$  โดยน้ำหนักต่อปริมาตร) จากนั้นนำไปคนเป็นเวลา 8 ชั่วโมง ด้วยแท่นคนเมล็ด
- สกัดด้วย diethyl ether ติดต่อกัน 5 ครั้ง แล้วนำไปประเมินตัวทำละลายของด้วยการลดความดันให้มีปริมาตรตามต้องการ
- ทำตามข้อ 1-5 แต่เปลี่ยนสารที่ใช้สกัดเป็น chloroform-methanol อัตราส่วน  $3:1$
- ทำตามข้อ 1-5 แต่เปลี่ยนสารที่ใช้สกัดเป็น hexane-acetone-ethanol อัตราส่วน  $2:1:1$

### 3.6.3 การวิเคราะห์สารเชิงปริมาณโดยเทคนิค HPLC

#### 1) การวิเคราะห์หาสภาวะที่เหมาะสมในการวิเคราะห์

##### 1.1) การหาความยาวคลื่นที่เหมาะสม โดยใช้เทคนิค UV-Vis spectrophotometry

1. นำสารละลายน้ำมารูป β-แครอทีน มาวิเคราะห์หาความยาวคลื่นที่สามารถดูดคลื่นแสงได้สูงสุด ในช่วงความยาวคลื่นตั้งแต่ 300-600 นาโนเมตร

2. นำสารละลายน้ำมารูป hexane- acetone อัตราส่วน 70:30 มาวิเคราะห์หาความยาวคลื่นที่สามารถดูดคลื่นแสงได้สูงสุด ในช่วงความยาวคลื่นตั้งแต่ 460-500 นาโนเมตร

- C<sub>30</sub> Column

- Flow rate 1.0 ml/min

- เฟสเคลื่อนที่ hexane - acetone อัตราส่วน 70:30

- ความยาวคลื่น 465- 495 นาโนเมตร

##### 1.2) การหานองค์ประกอบที่เหมาะสมของเฟสเคลื่อนที่

นำสารละลายน้ำมารูป hexane- acetone อัตราส่วน 70:30 มาวิเคราะห์โดยใช้สภาวะการทดลองดังนี้

- C<sub>30</sub> Column

- Flow rate 1.0 ml/min

- ความยาวคลื่น 480 นาโนเมตร

#### วิธีทำ

1. ใช้สารละลายน้ำมารูป hexane- acetone อัตราส่วน 70:30 ความเข้มข้น 50 mg/L ปริมาตร 20 μL โดยใช้ acetonitrile-dichloromethane-methanol อัตราส่วน 7:1:7:22 เป็นเฟสเคลื่อนที่ โดยจะทำการทดลองซ้ำ 3 ครั้ง เพื่อนำมาหาค่าเฉลี่ย
2. ใช้สารละลายน้ำมารูป hexane- acetone-methanol-H<sub>2</sub>O อัตราส่วน 50:45:5 เป็นเฟสเคลื่อนที่ โดยจะทำการทดลองซ้ำ 3 ครั้ง เพื่อนำมาหาค่าเฉลี่ย
3. ใช้สารละลายน้ำมารูป hexane- acetone อัตราส่วน 70:30 โดยจะทำการทดลองซ้ำแต่ละอัตราส่วน 3 ครั้ง เพื่อนำมาหาค่าเฉลี่ย
4. เลือกเฟสเคลื่อนที่ที่สามารถแยกพิษของยาตัวนี้ได้ดีที่สุด โดยการเปรียบเทียบจำนวน Theoretical plates (N) จากนั้นนำมาปรับอัตราส่วนของเฟสเคลื่อนที่เพื่อหาอัตราส่วนที่เหมาะสมที่สุด

### การคำนวณค่า N

$$N = 16(t/W)^2$$

โดยที่  $t_r$  = retention time

W = ความกว้างของฐานพีค (หน่วยเดียวกับ  $t_r$ )

### 1.3) การศึกษาอัตราการไหลที่เหมาะสมของเฟสเคลื่อนที่

นำสารละลายน้ำตรฐานและตัวแทนมาทำการวิเคราะห์โดยใช้สภาวะการทดลองดังนี้

-  $C_{30}$  Column

- เฟสเคลื่อนที่ hexane - acetone อัตราส่วน 70:30

- ความยาวคลื่น 480 นาโนเมตร

ใช้สารละลายน้ำตรฐานและตัวแทนความเข้มข้น 50 mg/L ปริมาตร 20  $\mu$ L โดยจะใช้อัตราการไหลของเฟสเคลื่อนที่ต่างๆ กัน และทำการทดลองซ้ำอัตราการไหลละ 3 ครั้งเพื่อนำมาหาค่าเฉลี่ยประสิทธิภาพของอัตราการไหล สามารถเปรียบเทียบได้จากค่า HETP

#### การคำนวณ HETP

$$H = L/N$$

โดยที่ L = ความยาวของคอลัมน์

N = จำนวน theoretical plate

### 2) การหาปริมาณและตัวอย่างโดยใช้กราฟมาตรฐาน

#### วิธีทำ

- นำสารละลายน้ำตรฐานและตัวแทนที่ความเข้มข้น 5, 10, 15, 20, 25, 30 mg/L มาจัดเข้าเครื่อง HPLC โดยมีสภาวะการทดลองคือ  $C_{30}$  Column, Flow rate 1.0 ml/min, hexane - acetone อัตราส่วน 70:30 และวัดค่าการดูดกลืนแสงที่ความยาวคลื่น 480 นาโนเมตร
- นำค่าการดูดกลืนแสงที่วัดได้สร้างกราฟมาตรฐาน โดยการแทนพื้นที่ใต้พิกัดด้วยแกน Y และแทนค่าความเข้มข้นของสารละลายน้ำตรฐานและตัวแทนที่ด้วยแกน X
- นำตัวอย่างที่ได้ผ่านการสกัด มาจัดเข้าเครื่องโดยใช้สภาวะการทดลองเหมือนข้อ 1

### 3.6.4 การวิเคราะห์สารเชิงปริมาณ โดยเทคนิค UV-Vis spectrophotometry

1) การวิเคราะห์หาสภาวะที่เหมาะสมในการวิเคราะห์

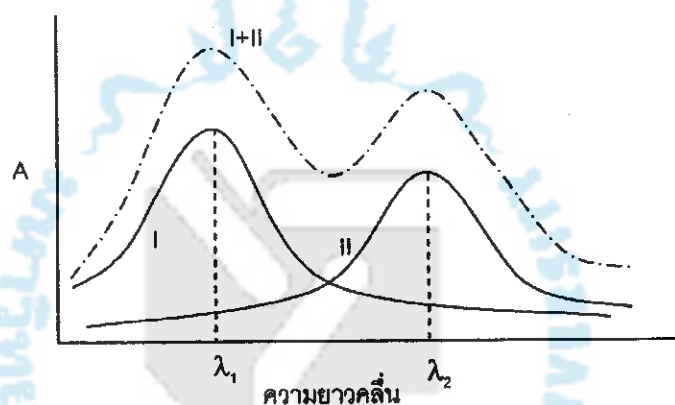
1.1) การหาความยาวคลื่นที่เหมาะสม โดยใช้เทคนิค UV-Vis spectrophotometry

#### วิธีทำ

- นำสารละลายมาตรฐานβ-แคโรทิน มาวิเคราะห์หาความยาวคลื่นที่สามารถดูดกลืนแสงได้สูงสุด ในช่วงความยาวคลื่นตั้งแต่ 300-600 นาโนเมตร
- นำสารละลายมาตรฐานแอกซต้าแซนทิน มาวิเคราะห์หาความยาวคลื่นที่สามารถดูดกลืนแสงได้สูงสุด ในช่วงความยาวคลื่นตั้งแต่ 460-500 นาโนเมตร

2) การหาปริมาณสารผสมβ-แคโรทิน และแอกซต้าแซนทิน

จากกฎของเบียร์ สามารถนำไปใช้ในการวิเคราะห์สารในตัวอย่างผสม โดยที่สารแต่ละชนิด ไม่มีอิทธิพลต่อการตรวจจับหรือการดูดกลืนแสงของสารอื่นชนิดหนึ่ง ค่าการดูดกลืนแสงที่รัดให้จะเป็นผลรวมของค่าการดูดกลืนแสงของสารแต่ละชนิด ดังรูปที่ 3.1



รูปที่ 3.1 แสดงค่าการดูดกลืนแสงของสาร I, II และของผสม (I+II)

จากกฎของเบียร์

$$A = \varepsilon bc$$

เมื่อ  $A =$  ค่าการดูดกลืนแสง (absorbance)

$\varepsilon =$  molar absorptivity

$b =$  ความยาวของเซลล์ที่แสงผ่าน

$C =$  ความเข้มข้นของสารละลายที่ดูดกลืนแสง

แต่  $\varepsilon$  และ  $b$  เป็นค่าคงที่ ซึ่ง  $\varepsilon b = k$  (ถ้า  $b = 1 \text{ cm}$ ,  $\varepsilon = k$ )

ดังนั้น

$$A = kc$$

$k$  คือ ค่าความชันของกราฟที่เขียนระหว่าง  $A$  และ  $C$

ดังนั้นเมื่อมีสาร  $A$  ชนิด ในสารละลาย ค่าการถูกกลืนแสงของสารละลายที่ความยาวคลื่น คือ

$$\begin{aligned} A_{\text{total}} &= A_1 + A_2 + \dots + A_n \\ \text{ที่ความยาวคลื่น } \lambda_1 &\quad A_{\text{total}, \lambda_1} = A_{1, \lambda_1} + A_{2, \lambda_1} + \dots + A_{n, \lambda_1} \\ &\quad = k_{11}C_1 + k_{12}C_2 + \dots + k_{1n}C_n \quad ---1) \end{aligned}$$

$$\begin{aligned} \text{ที่ความยาวคลื่น } \lambda_2 &\quad A_{\text{total}, \lambda_2} = A_{1, \lambda_2} + A_{2, \lambda_2} + \dots + A_{n, \lambda_2} \\ &\quad = k_{21}C_1 + k_{22}C_2 + \dots + k_{2n}C_n \quad ---2) \end{aligned}$$

เมื่อ  $A_{\text{total}, \lambda_1}$  = ค่าการถูกกลืนแสงของสารละลายผสม ที่ความยาวคลื่น  $\lambda_1$

$A_{\text{total}, \lambda_2}$  = ค่าการถูกกลืนแสงของสารละลายผสม ที่ความยาวคลื่น  $\lambda_2$

$k_{11}$  และ  $k_{12}$  = ค่าคงที่การถูกกลืนแสงที่ความยาวคลื่น  $\lambda_1$ , ของสารตัวที่ 1 และ 2 ตามลำดับ

$k_{21}$  และ  $k_{22}$  = ค่าคงที่การถูกกลืนแสงที่ความยาวคลื่น  $\lambda_2$ , ของสารตัวที่ 1 และ 2 ตามลำดับ

### วิธีทำ

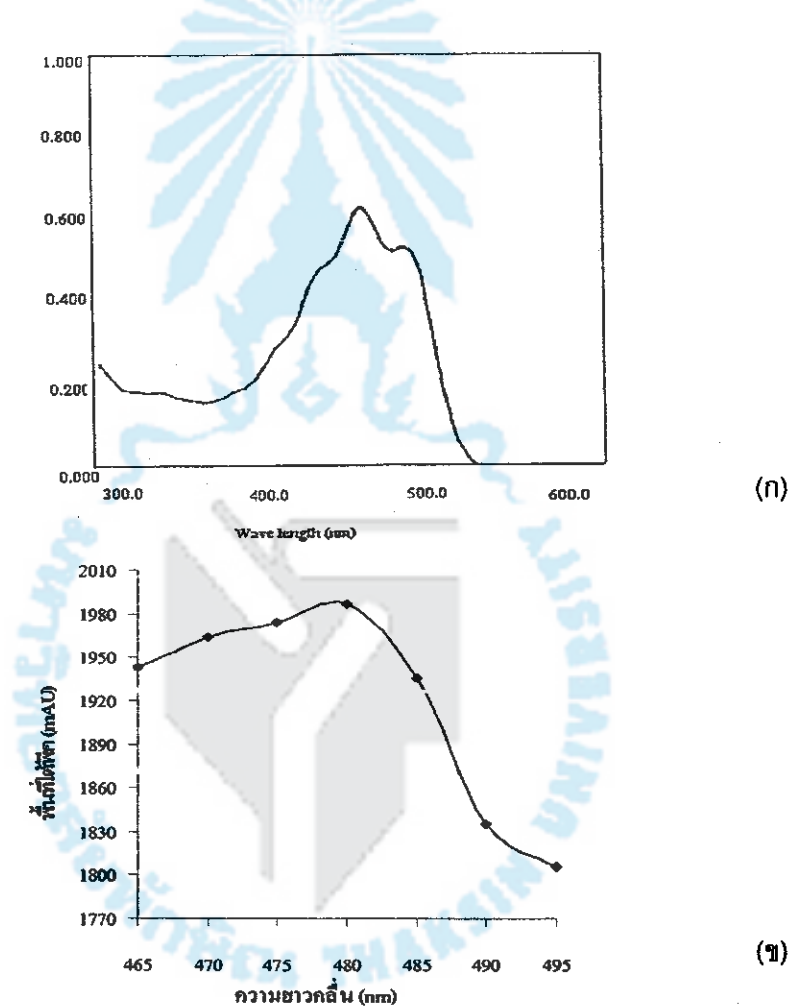
- นำสารละลายน้ำตรารูนบี-แครอทิน ความเข้มข้น 3, 6, 9, 12 ppm มาวิเคราะห์ มาวัดการถูกกลืนแสงที่ความยาวคลื่น 450.5 และ 473.5 นาโนเมตร
- นำสารละลายน้ำตรารูนแอกสตาแซนทิน ความเข้มข้น 2, 4, 6, 8, 10 ppm มาวิเคราะห์ มาวัดการถูกกลืนแสงที่ความยาวคลื่น 450.5 และ 473.5 นาโนเมตร
- นำผลการทดลองที่ได้มาเขียนกราฟน้ำตรารูน ของ  $\beta$ -แครอทิน และ แอกสตาแซนทิน ที่ความยาวคลื่น 450.5 และ 473.5 นาโนเมตร และคำนวนค่า  $k_{11}$ ,  $k_{12}$ ,  $k_{21}$ , และ  $k_{22}$  จากสมการที่ 1) และ 2)  
(กำหนดให้  $k_{11}$ ,  $k_{12} = k$  ที่ความยาวคลื่น  $\lambda_1$ , ของ  $\beta$ -แครอทิน และ แอกสตาแซนทิน  
 $k_{21}, k_{22} = k$  ที่ความยาวคลื่น  $\lambda_2$ , ของ  $\beta$ -แครอทิน และ แอกสตาแซนทิน)

## บทที่ 4

### ผลการวิจัย

#### 4.1 การศึกษาความยาวคลื่นที่เหมาะสมสำหรับการวิเคราะห์

จากการทดลองเมื่อนำสารละลายน้ำมาระดับเข้มข้นเบต้า-แคโรทีน 100 ppm และแอกโซต้าแซนทิน 100 ppm ในตัวทำละลายเชกเชน มาวัดความยาวคลื่นตั้งแต่ 300-600 นาโนเมตร และ 450-500 นาโนเมตร ตามลำดับ โดยเทคนิค UV-Vis spectrophotometry ได้ผลการทดลองดังรูปที่ 4.1



จากรูป 4.1 เมื่อสังเกตชูป猩ซองสเปกตรัมที่ได้พบว่า เม็ดต้า-แครโตรีนสามารถดูดกลืนแสงสูงสุดได้สามความยาวคลื่น โดยดูดกลืนแสงสูงสุดที่ความยาวคลื่น 450.5 นาโนเมตร ส่วนแอดสตาเซนทินสามารถดูดกลืนแสงได้สูงสุด ที่ความยาวคลื่น 473.5 นาโนเมตร ซึ่งลักษณะสเปกตรัมดังกล่าวแตกต่างกันจากการค่อนข้างแตกต่างระหว่างพันธุ์ภายในโมเลกุล และความยาวคลื่นสูงสุดที่สารดูดกลืนได้จะเลื่อนได้ หากเปลี่ยนตัวทำละลาย ดังตารางที่ 4.1

ตารางที่ 4.1 ข้อมูลการดูดกลืนแสงของยูวี-วีซิเบิล ของสารประกอบแครโตรีนอยด์

| Carotenoid                            | Solvent                  | $\lambda_{\text{max}}(\text{nm})$ |     |     |
|---------------------------------------|--------------------------|-----------------------------------|-----|-----|
| Antheraxanthin                        | Chloroform               | 430                               | 456 | 484 |
|                                       | Ethanol                  | 422                               | 444 | 472 |
|                                       | Hexane, petroleum ether  | 422                               | 445 | 472 |
| Astaxanthin                           | Acetone                  |                                   | 480 |     |
|                                       | Benzene, chloroform      |                                   | 485 |     |
|                                       | Ethanol                  |                                   | 478 |     |
|                                       | Petroleum ether          |                                   | 468 |     |
| Auroxanthin                           | Acetone                  | 381                               | 402 | 427 |
|                                       | Chloroform               | 385                               | 413 | 438 |
|                                       | Ethanol, petroleum ether | 380                               | 400 | 425 |
| Bixin                                 | Chloroform               | 433                               | 470 | 502 |
|                                       | Ethanol                  | 429                               | 457 | 484 |
|                                       | Petroleum ether          | 432                               | 456 | 490 |
| Canthaxanthin                         | Chloroform               |                                   | 482 |     |
|                                       | Ethanol                  |                                   | 474 |     |
|                                       | Petroleum ether          |                                   | 466 |     |
| Capsanthin                            | Ethanol                  |                                   | 476 |     |
|                                       | Petroleum ether          | (450)                             | 475 | 505 |
|                                       |                          |                                   |     |     |
| Capsorubin                            | Petroleum ether          | (455)                             | 479 | 510 |
| $\alpha$ -Carotene                    | Acetone                  | 424                               | 448 | 476 |
|                                       | Chloroform               | 433                               | 457 | 484 |
|                                       | Ethanol                  | 423                               | 444 | 473 |
|                                       | Hexane, petroleum ether  | 422                               | 445 | 473 |
| $\beta$ -Carotene                     | Acetone                  | (429)                             | 452 | 478 |
|                                       | Chloroform               | (435)                             | 461 | 485 |
|                                       | Ethanol                  | (425)                             | 450 | 478 |
|                                       | Hexane, petroleum ether  | (425)                             | 450 | 477 |
| $\beta$ -Carotene-5,6-epoxide         | Ethanol                  | 423                               | 445 | 474 |
| $\beta$ -Carotene-5,8-epoxide         | Ethanol                  | 407                               | 428 | 452 |
| $\beta$ -Carotene-5,6,5',6'-diepoxide | Ethanol                  | 417                               | 440 | 468 |
| $\beta$ -Carotene-5,8,5'8'-diepoxide  | Ethanol                  | 388                               | 400 | 425 |
| $\delta$ -Carotene                    | Chloroform               | 440                               | 470 | 503 |
|                                       | Petroleum ether          | 431                               | 456 | 489 |
| $\gamma$ -Carotene                    | Acetone                  | 439                               | 461 | 491 |
|                                       | Chloroform               | 446                               | 475 | 509 |
|                                       | Ethanol                  | 440                               | 460 | 489 |
|                                       | Hexane, petroleum ether  | 437                               | 462 | 494 |
| $\zeta$ -Carotene                     | Ethanol                  | 377                               | 399 | 425 |
|                                       | Hexane, petroleum ether  | 378                               | 400 | 425 |
| Crocin                                | Chloroform               | 413                               | 435 | 462 |
|                                       | Ethanol                  | 401                               | 423 | 447 |
|                                       | Petroleum                |                                   |     |     |
|                                       | ether                    | 400                               | 422 |     |
| $\alpha$ -Cryptoxanthin/Zeinoxanthin  | Chloroform               | 435                               | 459 | 487 |
|                                       | Ethanol                  | 423                               | 446 | 473 |
|                                       | Hexane                   | 421                               | 445 | 475 |
| $\beta$ -Cryptoxanthin                | Chloroform               | (435)                             | 459 | 485 |
|                                       | Ethanol                  | (428)                             | 450 | 478 |
|                                       | Petroleum ether          | (425)                             | 449 | 476 |

ตารางที่ 4.1 ข้อมูลการดูดกลืนแสงของยูวี-วีสีเบิล ของสารประกอบแคโรทีโนiyต์(ต่อ)

| Carotenoid            | Solvent                          | $\lambda_{\text{max}}(\text{nm})$ |           |
|-----------------------|----------------------------------|-----------------------------------|-----------|
| Echinonone            | Acetone                          |                                   | 460       |
|                       | Chloroform                       | 471                               |           |
|                       | Ethanol                          | 461                               | 0         |
|                       | Petroleum ether                  | 458                               | (482)     |
| Lutein                | Chloroform                       | 435                               | 458 485   |
|                       | Ethanol                          | 422                               | 445 474   |
|                       | Petroleum ether                  | 421                               | 445 474   |
|                       | Hexane, petroleum ether          | 420                               | 440 470   |
| Lycopene              | Acetone                          | 448                               | 474 505   |
|                       | Chloroform                       | 458                               | 484 518   |
|                       | Ethanol                          | 446                               | 472 503   |
|                       | Petroleum ether                  | 444                               | 470 502   |
| Mutatoxanthin         | Chloroform                       | 437                               | 468       |
|                       | Ethanol                          | 409                               | 427 457   |
|                       | Petroleum ether                  | 407                               | 426 456   |
| Neoxanthin            | Acetone                          | 416                               | 440 470   |
|                       | Chloroform                       | 423                               | 448 476   |
|                       | Ethanol                          | 415                               | 439 467   |
|                       | Petroleum ether                  | 416                               | 438 467   |
| Neurosporene          | Chloroform                       | 424                               | 451 480   |
|                       | Ethanol,hexane                   | 416                               | 440 470   |
|                       | Petroleum ether                  | 414                               | 439 467   |
| Phytoene              | Hexane,petroleum ether           | (276)                             | 286 (297) |
| Phytofluene           | Hexane,petroleum ether           | 331                               | 348 367   |
| Rubixanthin           | Chloroform                       | 439                               | 474 509   |
|                       | Ethanol                          | 433                               | 463 496   |
|                       | Petroleum ether                  | 434                               | 460 490   |
| Violaxanthin          | Chloroform                       | 426                               | 449 478   |
|                       | Ethanol                          | 419                               | 440 470   |
|                       | Petroleum ether                  | 416                               | 440 465   |
| $\alpha$ -Zeacarotene | Hexane                           | 398                               | 421 449   |
| $\beta$ -Zeacarotene  | Ethanol, hexane, petroleum ether | 406                               | 428 454   |
| Zeaxanthin            | Acetone                          | (430)                             | 452 479   |
|                       | Chloroform                       | (433)                             | 462 493   |
|                       | Ethanol                          | (428)                             | 450 478   |
|                       | Petroleum ether                  | (424)                             | 449 476   |

ที่มา : Britton(1995) and Davies(1976).

## 4.2 ศึกษาการหาปริมาณเบต้า-แครอทีน และแอกโซดีแซนทิน โดยเทคนิค High-performance liquid chromatography

### 4.2.1 การศึกษาองค์ประกอบที่เหมาะสมของเฟสเคลื่อนที่

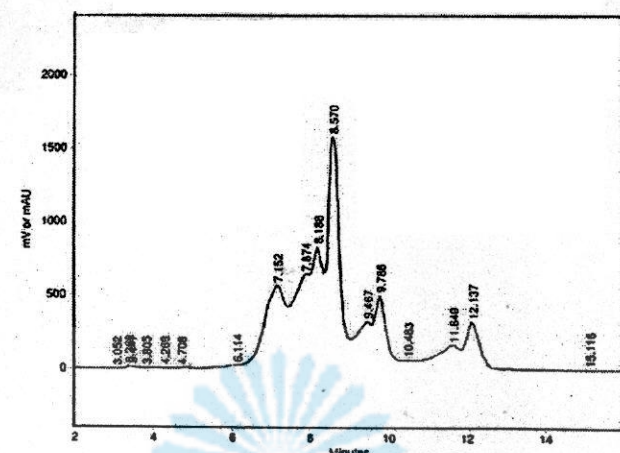
#### 1. ศึกษาชนิดและอัตราส่วนขององค์ประกอบของเฟสเคลื่อนที่

จากการทดลองพบว่าเมื่อใช้ acetonitrile-dichloromethane-methanol อัตราส่วน 71:7:22 และ acetone-methanol-H<sub>2</sub>O อัตราส่วน 50:45:5 เป็นเฟสเคลื่อนที่ ได้ผลการวิเคราะห์ที่มีประสิทธิภาพต่ำ ดังรูปที่ 4.2 และรูปที่ 4.3 ตามลำดับ แต่เมื่อใช้ hexane-acetone อัตราส่วน 70:30 ได้ผลการวิเคราะห์ที่มีประสิทธิภาพต่ำที่สุด ดังรูปที่ 4.4

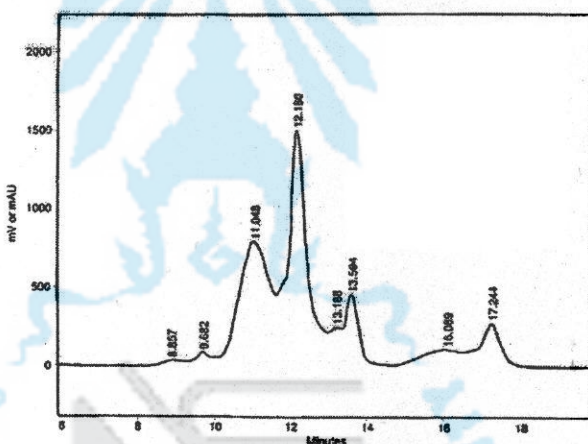
นำ hexane-acetone ซึ่งเป็นเฟสเคลื่อนที่ที่สามารถวิเคราะห์แอกโซดีแซนทินได้อย่าง มีประสิทธิภาพ มาศึกษาอัตราส่วนที่เหมาะสมโดยใช้ hexane-acetone อัตราส่วน 90:10, 80:20, 70:30 และ 60:40 ได้ผลการทดลองดังแสดงในตารางที่ 4.2 และรูปที่ 4.5 จากผลการทดลองพบว่าเมื่อใช้เฟสเคลื่อนที่เป็น hexane -acetone อัตราส่วน 70:30 จะให้ค่าจำนวนเพลตสูงที่สุด ในขณะที่อัตราส่วน 90:10, 80:20 และ 60:40 ได้ผลการวิเคราะห์ที่มีประสิทธิภาพต่ำ และไม่เกิดการแยกของพีคที่ชัดเจน ดังนั้นจึงเลือก hexane - acetone อัตราส่วน 70:30 เป็นเฟสเคลื่อนที่ในการศึกษา

ตารางที่ 4.2 แสดงความสัมพันธ์อัตราส่วนของเฟสเคลื่อนที่กับค่า Capacity factor (k) และจำนวน Theoretical plates (N) โดยมีสภาวะการทดลองคือ C<sub>30</sub> Column, เฟสเคลื่อนที่คือ hexane-acetone, Flow rate 1.0 ml/min, ความยาวคลื่น 480 นาโนเมตร

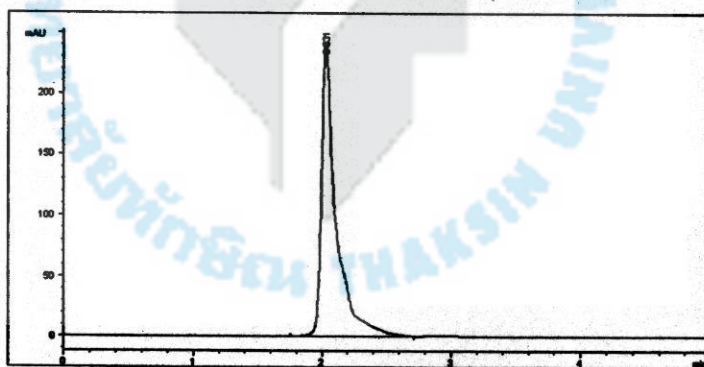
| เฟสเคลื่อนที่  | อัตราส่วน | N                   | k     |
|----------------|-----------|---------------------|-------|
| hexane:acetone | 90:10     | ไม่เกิดการแยกของพีค |       |
| hexane:acetone | 80:20     | 508.674             | 0.116 |
| hexane:acetone | 70:30     | 2231.300            | 0.136 |
| hexane:acetone | 60:40     | ไม่เกิดการแยกของพีค |       |



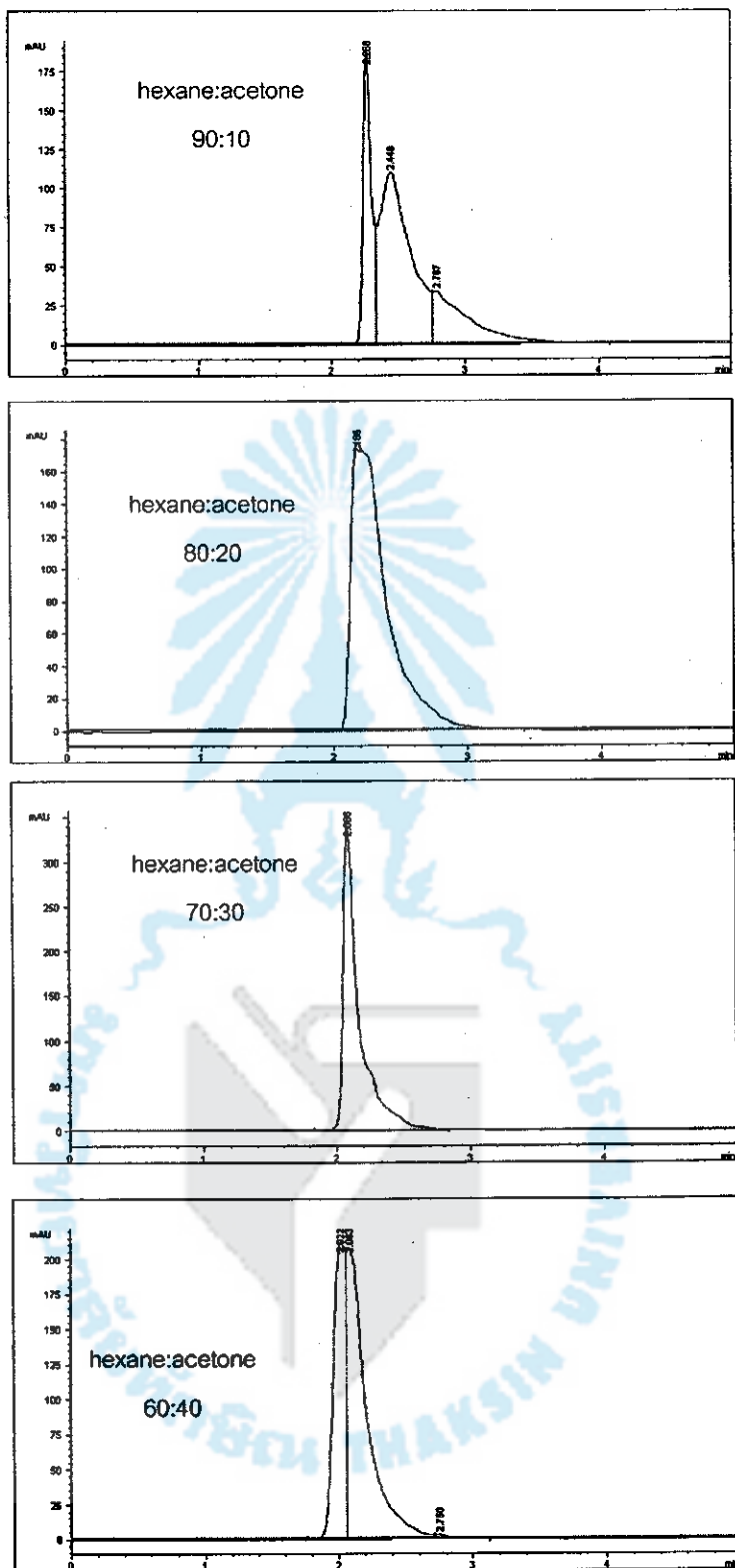
รูปที่ 4.2 แสดงกราฟแทร็คต์ของแอกสตาเซนทิน โดยมีสภาวะของการทดลองคือ  $C_{30}$  Column,  
acetonitrile: dichloromethane: methanol อัตราส่วน 71:7:22 Flow rate 1.0 ml/min



รูปที่ 4.3 แสดงกราฟแทร็คต์ของแอกสตาเซนทิน โดยมีสภาวะของการทดลองคือ  $C_{30}$  Column,  
acetone: methanol :น้ำ อัตราส่วน 50:45:5 Flow rate 1.0 ml/min



รูปที่ 4.4 แสดงกราฟแทร็คต์ของแอกสตาเซนทิน โดยมีสภาวะของการทดลองคือ  $C_{30}$  Column,  
hexane:acetone อัตราส่วน 70:30 Flow rate 1.0 ml/min



รูปที่ 4.5 แสดงผลของอัตราส่วนเฟสเคลื่อนที่ระหว่าง hexane:acetone ที่มีต่อความถี่การไหลของ  
แอลกอฮอล์ชนิดน้ำ โดยมีสภาวะของการทดลองคือ  $C_{30}$  Column Flow rate 1.0 ml/min

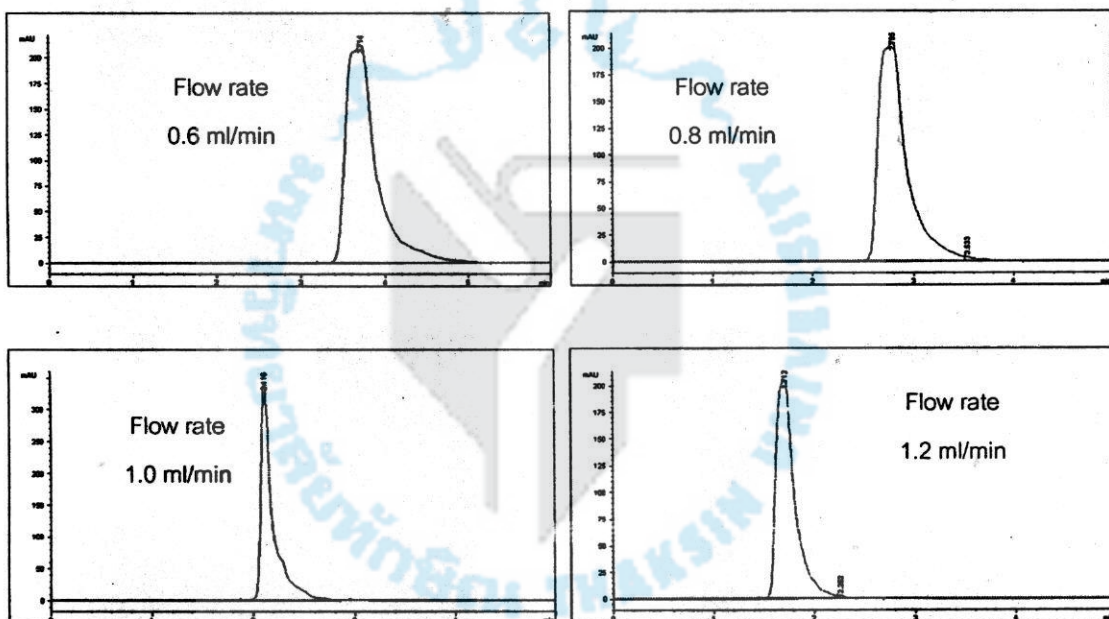
## 2. การศึกษาอัตราการไหลของเฟสเคลื่อนที่

จากการทดลองเมื่อใช้เฟสเคลื่อนที่เป็น hexane-acetone อัตราส่วน 70:30 มาทำการศึกษาอัตราการไหลของเฟสเคลื่อนที่ โดยใช้อัตราการไหล 0.6, 0.8, 1.0 และ 1.2 ml/min ได้ผลการทดลองดังรูปที่ 4.6 และข้อมูลดังตารางที่ 4.3 จากตารางพบว่าเมื่อใช้อัตราการไหลของเฟสเคลื่อนที่ 1.0 ml/min จะให้ค่า HETP ต่ำที่สุด คือ 0.013 ดังนั้นจึงเลือกอัตราการไหลของเฟสเคลื่อนที่ 1.0 ml/min ในการศึกษาสารแอลตราเซนทิโนฟาร์มสกัด

ตารางที่ 4.3 แสดงความสัมพันธ์ระหว่างอัตราการไหลของเฟสเคลื่อนที่กับค่า Capacity factor (k),

HETP และจำนวน Theoretical plates (N)โดยมีสภาวะการทดลองคือ C<sub>30</sub> Column, hexane - acetone อัตราส่วน 70:30 ความยาวคลื่น 480 นาโนเมตร

| อัตราการไหล ml/min | N        | HETP  | k     |
|--------------------|----------|-------|-------|
| 0.6                | 760.160  | 0.040 | 0.151 |
| 0.8                | 738.275  | 0.040 | 0.146 |
| 1.0                | 2231.300 | 0.013 | 0.136 |
| 1.2                | 569.789  | 0.051 | 0.168 |



รูปที่ 4.6 แสดงผลของ flow rate ที่มีต่อคุณภาพแกรมของแอลตราเซนทิโน โดยมีสภาวะของการทดลองคือ C<sub>30</sub> Column, hexane:acetone อัตราส่วน 70:30

#### 4.2.2 การหาปริมาณแอดสตาแซนทิน โดยวิธีการสร้างกราฟมาตรฐาน

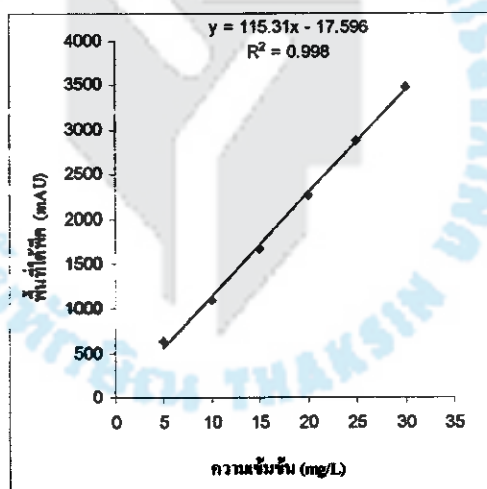
เมื่อนำสารละลายน้ำมารวมและตัดกับสารที่ความเข้มข้น 5, 10, 15, 20, 25, 30 mg/L ชี้ด้วยเครื่อง HPLC โดยมีสภาวะการทดลองคือ C<sub>30</sub> Column, Flow rate 1.0 ml/min, hexane - acetone อัตราส่วน 70:30 และวัดค่าการดูดกลืนแสงที่ความยาวคลื่น 480 นาโนเมตร ได้ผลการทดลองดังตารางที่ 4.4 และนำมาสร้างกราฟมาตรฐาน โดยการแทนพื้นที่ใต้พีคด้วยแกน Y และแทนค่าความเข้มข้นของสารละลายน้ำมารวมและตัดกับสารที่ความเข้มข้นด้วยแกน X ดังรูปที่ 4.7

จากรูปจะเห็นว่ากราฟที่ได้มีลักษณะเป็นเส้นตรง  $y = 115.31x - 17.596$  โดยมีค่า  $R^2 = 0.998$  ซึ่งกราฟมาตรฐานนี้จะสามารถนำไปใช้ในการวิเคราะห์หาปริมาณแอดสตาแซนทินจากพื้นดินอย่าง

ตารางที่ 4.4 แสดงพื้นที่ใต้พีคของแอดสตาแซนทิน ที่ระดับความเข้มข้น 5, 10, 15, 20, 25, 30 mg/L

โดยมีสภาวะการทดลองคือ C<sub>30</sub> Column, Flow rate 1.0 ml/min, hexane - acetone  
อัตราส่วน 70:30 ความยาวคลื่น 480 นาโนเมตร

| ความเข้มข้น (mg/L) | พื้นที่ใต้พีค (mAU) |
|--------------------|---------------------|
| 5                  | 631.36              |
| 10                 | 1088.12             |
| 15                 | 1662.190            |
| 20                 | 2109.050            |
| 25                 | 2882.880            |
| 30                 | 3469.110            |

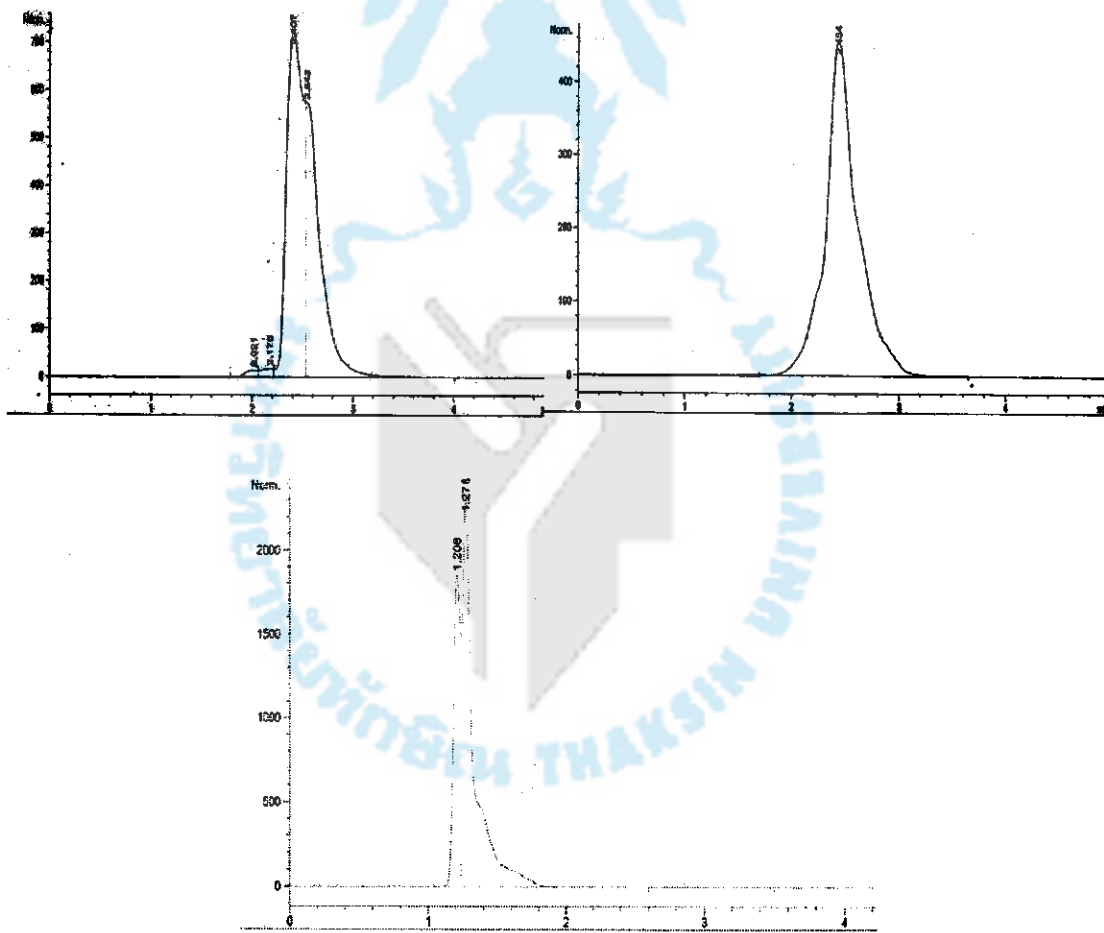


รูปที่ 4.7 แสดงความสัมพันธ์ระหว่างพื้นที่ใต้พีคของแอดสตาแซนทินที่ระดับความเข้มข้นต่างๆ

สภาวะการทดลองคือ C<sub>30</sub> Column, Flow rate 1.0 ml/min, hexane – acetone(70:30) ความยาวคลื่น 480 นาโนเมตร

#### 4.2.3 การหาปริมาณเบต้า-แคโรทีน และแอกสตาแซนทิน

ในการทดลองได้ทำการศึกษาการหาปริมาณเบต้า-แคโรทีน และแอกสตาแซนทินในเวลาเดียวกัน โดยใช้เทคนิค HPLC แต่พบว่ามีปัญหาและข้อจำกัดทางเครื่องมือหลายประการได้แก่ (1) การเลือกคุณภาพของคอลัมน์ที่ใช้วิเคราะห์ เนื่องจากมีข้อจำกัดด้านงบประมาณ ต้องใช้คอลัมน์ร่วมกับงานวิจัยอื่นๆ ซึ่งเมื่อต้องศึกษาการแยกเพื่อหาปริมาณเบต้า-แคโรทีน และแอกสตาแซนทิน ประสิทธิภาพของคอลัมน์เกิดการเปลี่ยนแปลงจากสภาพที่เคยแยกได้ (2) เครื่อง HPLC ที่ใช้ในงานวิจัยไม่สามารถทำการวิเคราะห์ในระบบเกรดเดียนต์ (gradient elution) จึงไม่สามารถปรับปรุงการแยกให้ดีขึ้น และ (3) ไม่มีอุปกรณ์ควบคุมอุณหภูมิของคอลัมน์ในการแยกสาร ซึ่งทำให้ไม่สามารถเพิ่มประสิทธิภาพการแยกพิเศษของเบต้า-แคโรทีนและแอกสตาแซนทิน ที่มีคุณสมบัติและโครงสร้างไม่เลกุลใกล้เคียงกันมากออกจากกันได้ ผลทำให้ในการทดลองไม่สามารถหาปริมาณเบต้า-แคโรทีน และแอกสตาแซนทินในเวลาเดียวกันได้ ดังรูปที่ 4.8



รูปที่ 4.8 แสดงตัวอย่างchromatogram ในสภาวะการทดลองต่างๆของการหาปริมาณเบต้า-แคโรทีน และแอกสตาแซนทินในเวลาเดียวกัน

### 4.3 ศึกษาการหาปริมาณเบต้า-แคโรทีน และแอกซตาแซนทิน โดยใช้เทคนิค UV-Vis spectrophotometry ด้วยวิธีการสร้างกราฟมาตรฐานแบบสารผสม 2 ชนิด

นำสารละลายน้ำมาตรฐานเบต้า-แคโรทีน ที่ความเข้มข้น 3, 6, 9, 12 ppm และสารละลายน้ำมาตรฐานแอกซตาแซนทิน ที่ความเข้มข้น 2, 4, 6, 8, 10 ppm วัดค่าการดูดกลืนแสงที่ความยาวคลื่น 473.5 และ 450.5 นาโนเมตร ได้ผลการทดลองดังตารางที่ 4.5 และ 4.6 ตามลำดับ แล้วนำมาสร้างกราฟมาตรฐาน ดังรูปที่ 4.9 และ 4.10 ตามลำดับ

จากรูปที่ 4.9 พบว่ากราฟมาตรฐานของเบต้า-แคโรทีน ที่ความยาวคลื่น 450.5 นาโนเมตร มีลักษณะเป็นเส้นตรงตามสมการ  $y = 0.1605x$  โดยมีค่า  $R^2 = 0.9997$  และที่ความยาวคลื่น 473.5 นาโนเมตร มีลักษณะเป็นเส้นตรงตามสมการ  $y = 0.1387x$  โดยมีค่า  $R^2 = 0.9996$

จากรูปที่ 4.10 พบว่ากราฟมาตรฐานของ แอกซตาแซนทิน ที่ความยาวคลื่น 450.5 นาโนเมตร มีลักษณะเป็นเส้นตรงตามสมการ  $y = 0.1365x$  โดยมีค่า  $R^2 = 0.9843$  และที่ความยาวคลื่น 473.5 นาโนเมตร มีลักษณะเป็นเส้นตรงตามสมการ  $y = 0.1550x$  โดยมีค่า  $R^2 = 0.9945$

จากข้อมูลสมการเส้นตรงของกราฟมาตรฐาน สามารถใช้ความชันของกราฟแทนค่าคงที่ของการดูดกลืนตามสมการดังนี้

$$\text{ที่ความยาวคลื่น } 450.5 \text{ nm} \quad A_{\text{total}, \lambda_1} = k_{11}C_1 + k_{12}C_2 \quad (1)$$

ค่าคงที่การดูดกลืนแสง  $k_{11}$  ของเบต้า-แคโรทีน มีค่าเท่ากับ 0.1605 และ

ค่าคงที่การดูดกลืนแสง  $k_{12}$  ของแอกซตาแซนทิน มีค่าเท่ากับ 0.1365

ดังนั้น จะได้สมการที่(2)

$$A_{\text{total}, 450.5} = 0.1605C_1 + 0.1365C_2 \quad (2)$$

$$\text{ที่ความยาวคลื่น } 473.5 \text{ nm} \quad A_{\text{total}, \lambda_2} = k_{21}C_1 + k_{22}C_2 \quad (3)$$

ค่าคงที่การดูดกลืนแสง  $k_{21}$  ของเบต้า-แคโรทีน มีค่าเท่ากับ 0.1387 และ

ค่าคงที่การดูดกลืนแสง  $k_{22}$  ของแอกซตาแซนทิน มีค่าเท่ากับ 0.1550

ดังนั้น จะได้สมการที่(4)

$$A_{\text{total}, 473.5} = 0.1387C_1 + 0.1550C_2 \quad (4)$$

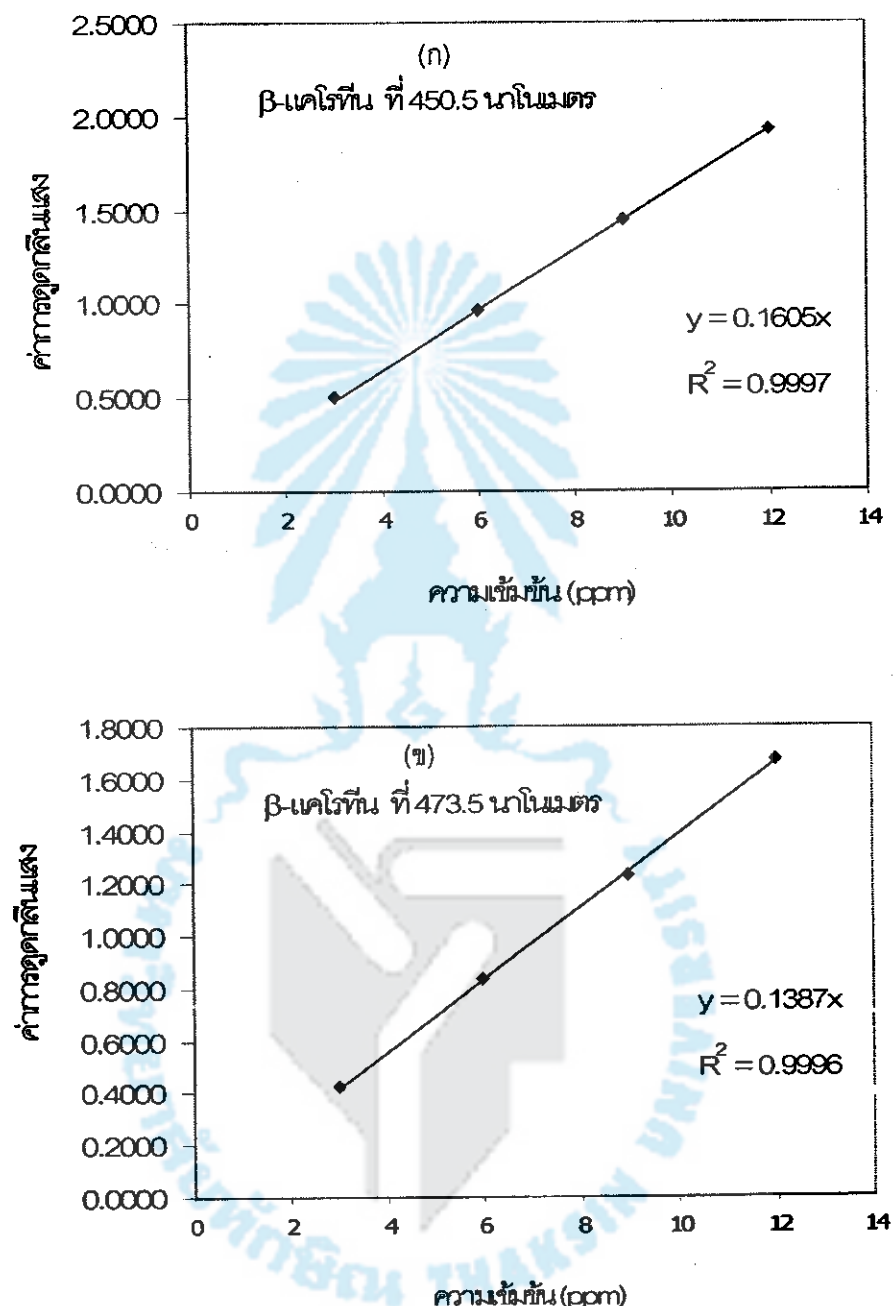
จากนั้นเมื่อต้องการหาปริมาณผสมระหว่างเบต้า-แคโรทีน และแอกซตาแซนทิน ในตัวอย่างชนิดต่างๆ สามารถทำได้โดยวัดค่าการดูดกลืนแสงของเบต้า-แคโรทีน และแอกซตาแซนทิน ที่ความยาวคลื่น 473.5 และ 450.5 นาโนเมตร และนำมาแทนค่าลงในสมการที่ (2) และ (4) และแก้สมการหาค่า  $C_1$  (เบต้า-แคโรทีน) และ  $C_2$  (แอกซตาแซนทิน) ตามลำดับ

ตารางที่ 4.5 แสดงค่าการซูตรถักน้ำแข็งของเบต้า-แอลิโนทิน ที่ความเย็นคงที่ 473.5 และ 450.5 นาโนเมตร

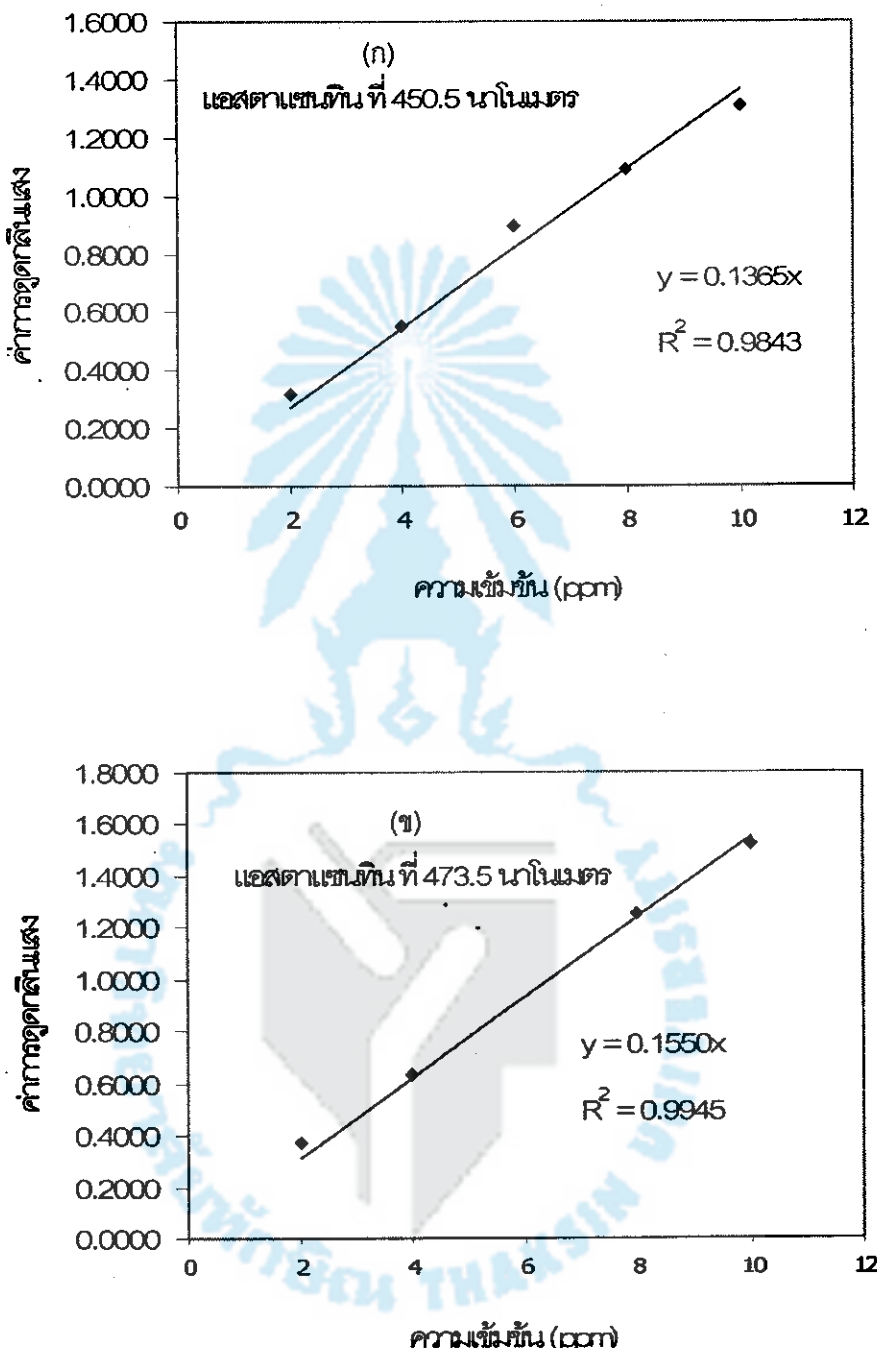
| ความเข้มข้นเบต้า-แอลิโนทิน<br>(ppm) | ค่าการซูตรถักน้ำแข็ง |            |        |                |            |            |        |               |
|-------------------------------------|----------------------|------------|--------|----------------|------------|------------|--------|---------------|
|                                     | 473.5 นาโนเมตร       |            |        | 450.5 นาโนเมตร |            |            |        |               |
| ครั้งที่ 1                          | ครั้งที่ 2           | ครั้งที่ 3 | เฉลี่ย | ครั้งที่ 1     | ครั้งที่ 2 | ครั้งที่ 3 | เฉลี่ย |               |
| 3                                   | 0.4230               | 0.4279     | 0.4297 | 0.4269±0.0035  | 0.4966     | 0.4978     | 0.5002 | 0.4982±0.0018 |
| 6                                   | 0.8344               | 0.8351     | 0.8373 | 0.8356±0.0015  | 0.9583     | 0.9625     | 0.9661 | 0.9623±0.0039 |
| 9                                   | 1.2274               | 1.2363     | 1.2383 | 1.2340±0.0058  | 1.4412     | 1.4426     | 1.4470 | 1.4436±0.0030 |
| 12                                  | 1.6680               | 1.6704     | 1.6730 | 1.6705±0.0025  | 1.9131     | 1.9265     | 1.9310 | 1.9235±0.0093 |

ตารางที่ 4.6 แสดงค่าการซูตรถักน้ำแข็งของเบต้า-แอลิโนทิน ที่ความเย็นคงที่ 473.5 และ 450.5 นาโนเมตร

| ความเข้มข้นเบต้า-แอลิโนทิน<br>(ppm) | ค่าการซูตรถักน้ำแข็ง |            |        |                |            |            |        |               |
|-------------------------------------|----------------------|------------|--------|----------------|------------|------------|--------|---------------|
|                                     | 473.5 นาโนเมตร       |            |        | 450.5 นาโนเมตร |            |            |        |               |
| ครั้งที่ 1                          | ครั้งที่ 2           | ครั้งที่ 3 | เฉลี่ย | ครั้งที่ 1     | ครั้งที่ 2 | ครั้งที่ 3 | เฉลี่ย |               |
| 2                                   | 0.3690               | 0.3704     | 0.3710 | 0.3701±0.0010  | 0.3171     | 0.3168     | 0.3173 | 0.3171±0.0003 |
| 4                                   | 0.6322               | 0.6370     | 0.6398 | 0.6363±0.0038  | 0.5499     | 0.5526     | 0.5533 | 0.5519±0.0018 |
| 6                                   | 1.0502               | 1.0560     | 1.0574 | 1.0545±0.0038  | 0.8867     | 0.8911     | 0.8948 | 0.8909±0.0041 |
| 8                                   | 1.2456               | 1.2493     | 1.2550 | 1.2500±0.0047  | 1.0896     | 1.0916     | 1.0929 | 1.0914±0.0017 |
| 10                                  | 1.6189               | 1.5240     | 1.5289 | 1.5239±0.0050  | 1.3079     | 1.3110     | 1.3132 | 1.3107±0.0027 |



รูปที่ 4.9 แสดงกราฟนำตรวจสอบของเบต้า-ไโตรีน ช่วงความเข้มข้น 3 – 10  $\mu\text{ppm}$   
 (ก) ที่ความยาวคลื่น 450.5 นาโนเมตร (ข) ที่ความยาวคลื่น 473.5 นาโนเมตร



รูปที่ 4.10 แสดงกราฟนำตราชานของแอกสต้าแซนทิน ช่วงความเข้มข้น 2 – 10 ppm  
 (ก) ที่ความยาวคลื่น 450.5 นาโนเมตร (ข) ที่ความยาวคลื่น 473.5 นาโนเมตร

#### 4.4 ศึกษาวิธีการเตรียมตัวอย่างและชนิดของสารสกัด

การศึกษาวิธีการเตรียมตัวอย่างและชนิดของตัวทำละลายที่เหมาะสมสำหรับใช้สกัดสารตัวอย่างในที่นี้ จะทำการทดลองโดยใช้เครื่องเป็นตัวอย่างศึกษา และนำมาหาปริมาณแอกซ์ต้าแซนทินเพื่อเปรียบเทียบผลการทดลอง โดยใช้เทคนิค HPLC มีสภาวะการทดลองคือ  $C_{30}$  Column, Flow rate 1.0 ml/min, hexane - acetone อัตราส่วน 70:30 ความยาวคลื่น 480 นาโนเมตร และหาปริมาณโดยใช้กราฟมาตรฐานดังรูปที่ 4.11

##### 4.4.1 วิธีการเตรียมตัวอย่าง

การเตรียมตัวอย่างเพื่อหาปริมาณสารในกลุ่มแครอฟท์น้อยด้วยมีความสำคัญต่อความถูกต้องของผลการทดลอง เนื่องจากสารในกลุ่มนี้เกิดการสลายตัวได้ง่ายเมื่อโดนแสง หรือความร้อน โดยในการทดลองใช้เครื่อง เป็นตัวอย่างมาทดสอบวิธีการเตรียมที่แตกต่างกัน 3 แบบ ได้แก่ (1) การอบแห้ง (2) การพิรีดรายด์ และ (3) การใช้ตัวอย่างสด

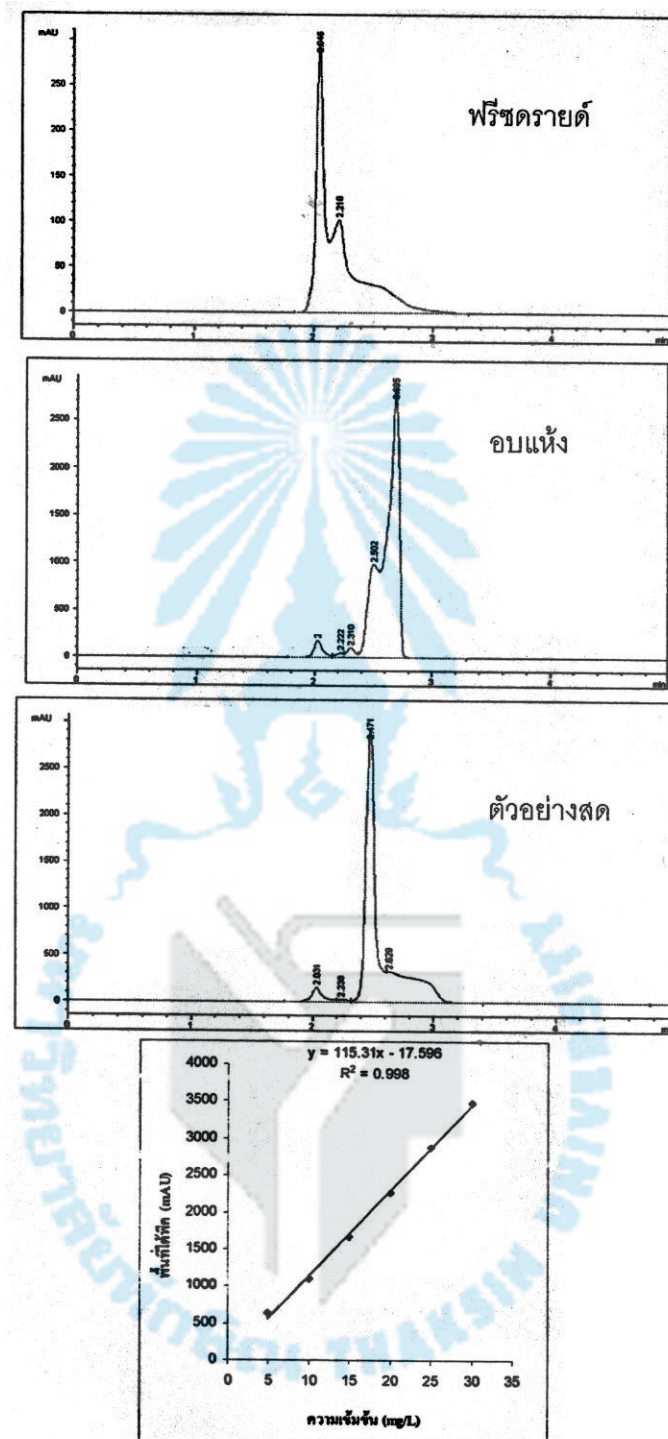
การเตรียมตัวอย่างทั้ง 3 แบบ จะนำตัวอย่างมาบดให้ละเอียดก่อน โดยการอบแห้ง จะอบสารที่อุณหภูมิ  $40^{\circ}\text{C}$  จนมีความชื้นเหลือน้อยกว่า 10% และนำไปบดให้ละเอียด วิธีพิรีดรายด์ จะทำสารให้แห้งโดยใช้ freeze-dryer  $-53^{\circ}\text{C}$  จนมีความชื้นเหลือน้อยกว่า 10% บดให้ละเอียด และแบบสุดจะใช้ตัวอย่างสดมาบดละเอียดแล้วนำไปสกัดทันที โดยใช้ hexane-acetone-ethanol อัตราส่วน 2:1:1 เป็นสารละลายสกัด

จากการทดลองได้ผลการทดลองดังตารางที่ 4.7 ซึ่งพบว่า การเตรียมตัวอย่างจากตัวอย่างสด จะสามารถสกัดแอกซ์ต้าแซนทิน ออกมากจากแครอฟท์มากที่สุด รองลงมาคือการอบแห้ง ตามลำดับ ส่วนวิธีพิรีดรายด์ไม่สามารถหาปริมาณได้ เมื่อจากโครงให้แก่กราฟที่ได้จากการทดลองพื้นที่ของแอกซ์ต้าแซนทินไม่เกิดการแยก

ตารางที่ 4.7 แสดงวิธีสกัดที่เหมาะสมโดยใช้ hexane-acetone-ethanol อัตราส่วน 2:1:1 เป็น

ตัวสกัด โดยมีสภาวะการทดลองคือ  $C_{30}$  Column, Flow rate 1.0 ml/min, hexane - acetone อัตราส่วน 70:30 ความยาวคลื่น 480 นาโนเมตร

| การเตรียมตัวอย่าง   | พื้นที่ใต้พีค (mAU)                              |            |            |                       | ปริมาณแอกซ์ต้าแซนทิน ( $\mu\text{g/g}$ ) |
|---------------------|--|------------|------------|-----------------------|--|
|                     | ครั้งที่ 1                                       | ครั้งที่ 2 | ครั้งที่ 3 | เฉลี่ย                |  |
| ตัวอย่างสด          | 1045.603   | 1051.180   | 1008.560   | $1035.114 \pm 23.165$ | $9.129 \pm 0.201$                        |
| ตัวอย่างอบ          | 950.387  | 944.177    | 945.373    | $946.660 \pm 3.295$   | $8.362 \pm 0.181$                        |
| ตัวอย่างพิรีด-รายน์ | ไม่สามารถหาปริมาณได้เนื่องจากไม่เกิดการแยกของพีค |            |            |                       |  |



รูปที่ 4.11 แสดงโครงมาโทแกรมของสารสกัดจากเครื่อง โดยวิธีการเติร์นแบบต่างๆ

สภาวะของการทดลอง : C<sub>30</sub> Column, hexane:acetone(70:30), Flow rate 1.0 ml/min  
 และกราฟมาตรฐานการหาปริมาณแอดสตาเซนทิน

#### 4.4.2 การศึกษาชนิดของตัวทำละลายที่ใช้สกัดสารตัวอย่าง

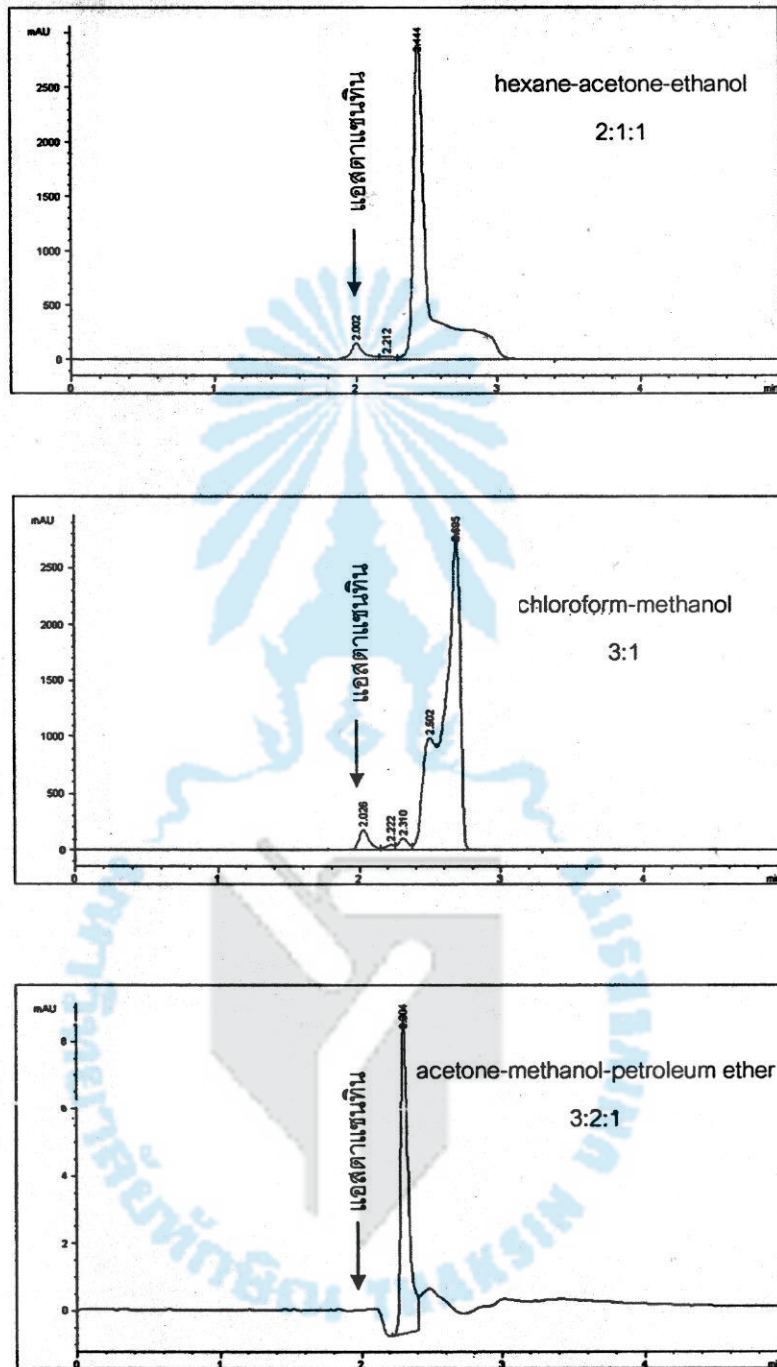
การศึกษาชนิดของตัวทำละลายที่ใช้สกัดสารตัวอย่าง จะเลือกชนิดของตัวทำละลายจากงานวิจัยที่มีผู้เคยทำการทดลองมาแล้ว โดยในการทดลองครั้งนี้ได้เลือกตัวทำละลายนานา ชนิดเพื่อนำมาทดสอบการสกัด ดังนี้ (1) hexane-acetone-ethanol ในอัตราส่วน 2:1:1 (2) chloroform-methanol ในอัตราส่วน 3:1 (3) acetone-methanol-petroleum ether ในอัตราส่วน 3:2:1

จากการทดลองนำตัวอย่างแครอฟสดมาบดให้ละเอียดแล้ว นำไปสกัดโดยใช้สารสกัดชนิดต่างๆ แล้วนำสารสกัดไปหาปริมาณและสถานที่เพื่อเปรียบเทียบผลการทดลอง โดยใช้เทคนิค HPLC พบร่วมกับใช้ hexane-acetone-ethanol อัตราส่วน 2:1:1 เป็นตัวทำละลายที่ใช้สกัด จะสามารถสกัดและสถานที่เพื่อความแม่นยำมากจากแครอฟสดได้มากที่สุด ดังตารางที่ 4.8

ตารางที่ 4.8 แสดงการหาชนิดของตัวทำละลายที่เหมาะสมสำหรับใช้สกัด ใช้ตัวอย่างเป็นแครอฟสด

โดยมีสภาวะการทดลองคือ  $C_{30}$  Column, Flow rate 1.0 ml/min, hexane – acetone  
อัตราส่วน 70:30 ความยาวคลื่น 480 นาโนเมตร

| สารที่ใช้สกัด                                    | พื้นที่ได้พีค (mAU)  |            |            |                       | ปริมาณ<br>แอลกอฮอล์ทิน<br>( $\mu\text{g/g}$ ) |
|--|----------------------|------------|------------|-----------------------|---|
|  | ครั้งที่ 1           | ครั้งที่ 2 | ครั้งที่ 3 | เฉลี่ย                |   |
| hexane-acetone-ethanol<br>(2 : 1 : 1)            | 1045.603             | 1051.180   | 1008.560   | 1035.114 $\pm$ 23.165 | 9.129 $\pm$ 0.201                             |
| chloroform-methanol<br>(3:1)                     | 230.406              | 288.386    | 263.460    | 260.750 $\pm$ 29.085  | 2.414 $\pm$ 0.405                             |
| acetone-methanol-<br>petroleum ether (3 : 2 : 1) | ไม่สามารถหาปริมาณได้ |            |            |                       |   |



รูปที่ 4.12 แสดงโครงสร้างของสารสกัดจากแครอฟท์เมื่อใช้ด้าวทำละลายสกัดชนิดต่างๆ ในการสกัด สภาวะของการทดลองคือ C<sub>30</sub> Column, hexane:acetone (70:30) Flow rate 1.0 ml/min

#### 4.5 การหาปริมาณเบต้า-แครอทีน และแอสต้าแซนทิน ในตัวอย่าง

นำตัวอย่างชนิดต่างๆ ได้แก่ เปลือกข้าวโพด สาหร่ายผมนาง ดอกเข็ม ดอกดาวเรือง แครอฟ ดอกเพื่องฟ้า และเปลือกเงาะ มาสับและบดให้ละเอียด แล้วนำไปสกัดด้วยสารละลายผสม hexane-acetone-ethanol อัตราส่วน 2:1:1 และนำไปหาปริมาณเบต้า-แครอทีน และแอสต้าแซนทิน ด้วยเทคนิค UV-Vis spectrophotometry

จากการทดลองได้ผลการทดลอง ดังแสดงในตารางที่ 4.9 เมื่อนำค่าการดูดกลืนแสงที่ได้คำนวณหาปริมาณสารตามสมการที่ (2) และ(4) แล้วนำความเข้มข้นไปคูณค่า dilution factor พบร่วมที่ชัดอย่างชนิดต่างๆมีปริมาณเบต้า-แครอทีน และแอสต้าแซนทิน ดังตารางที่ 4.10 โดยมีปริมาณเบต้า-แครอทีนในดอกดาวเรืองมีมากที่สุด ( $411.5562 \pm 0.6377 \mu\text{g/g}$ ) รองลงมาคือ สาหร่ายผมนาง ( $167.0658 \pm 0.7913 \mu\text{g/g}$ ) แครอฟ ( $142.3117 \pm 4.1854 \mu\text{g/g}$ ) ดอกเข็ม ( $105.2184 \pm 0.3011 \mu\text{g/g}$ ) ดอกเพื่องฟ้า ( $34.6650 \pm 0.1966 \mu\text{g/g}$ ) เปลือกเงาะ ( $22.7979 \pm 0.1796 \mu\text{g/g}$ ) และเปลือกข้าวโพด ( $6.1141 \pm 0.0026 \mu\text{g/g}$ ) ตามลำดับ

ส่วนปริมาณแอสต้าแซนทินพบในดอกดาวเรืองมากที่สุด ( $43.4084 \pm 0.0673 \mu\text{g/g}$ ) รองลงมาคือ สาหร่ายผมนาง ( $17.6211 \pm 0.0835 \mu\text{g/g}$ ) แครอฟ ( $15.0102 \pm 0.4415 \mu\text{g/g}$ ) ดอกเข็ม ( $11.0978 \pm 0.0318 \mu\text{g/g}$ ) ดอกเพื่องฟ้า ( $3.6563 \pm 0.0207 \mu\text{g/g}$ ) เปลือกเงาะ ( $2.4046 \pm 0.0189 \mu\text{g/g}$ ) และเปลือกข้าวโพด ( $0.6449 \pm 0.0003 \mu\text{g/g}$ ) ตามลำดับ

ตารางที่ 4.9 แสดงค่าการดูดกลืนแบบตัว-แคโนนและคะแนนในเพชรตัวอย่าง

| เพชรตัวอย่าง   | น้ำหนักสัด<br>(กรัม) | ปริมาณคร<br>สารสกัด<br>(มิลลิลิตร) | Dilution<br>Factor* | ค่าการดูดกลืนแบบ |            |            |               |
|----------------|----------------------|------------------------------------|---------------------|------------------|------------|------------|---------------|
|                |                      |                                    |                     | ครั้งที่ 1       | ครั้งที่ 2 | ครั้งที่ 3 | เฉลี่ย        |
| บล็อกหัวโพด    | 200.18               | 50.0                               | 1                   | 0.9403           | 0.9399     | 0.9395     | 0.9399±0.0004 |
| สีหัวรำผาแดง   | 200.11               | 42.0                               | 16                  | 1.9001           | 1.9131     | 1.9175     | 1.9102±0.0090 |
| ตอกตามน้ำ      | 200.08               | 40.0                               | 16                  | 1.2589           | 1.2646     | 1.2656     | 1.2630±0.0036 |
| ตอกตามเขียว    | 192.94               | 33.0                               | 64                  | 1.4412           | 1.4441     | 1.4456     | 1.4436±0.0022 |
| แครอง          | 200.13               | 45.0                               | 32                  | 0.7350           | 0.7645     | 0.7788     | 0.7594±0.0223 |
| ตอกเพื่อพัก    | 119.17               | 30.0                               | 4                   | 1.3267           | 1.3256     | 1.3132     | 1.3218±0.0075 |
| เปลือกเงาะ     | 200.14               | 32.0                               | 4                   | 1.3571           | 1.3707     | 1.3784     | 1.3687±0.0108 |
| 450.5 นาโนเมตร |                      |                                    |                     | ครั้งที่ 1       | ครั้งที่ 2 | ครั้งที่ 3 | เฉลี่ย        |
| 473.5 นาโนเมตร |                      |                                    |                     |                  |            |            |               |

\* จุดจางหลังการสกัด

ตารางที่ 4.10 แสดงปริมาณเบต้า-แคโรทีนและออกซ์เจนทินในพืชตัวอย่าง

| ตัวอย่าง      | น้ำหนักสด<br>(กรัม) | ปริมาณสารสำคัญ<br>(มิลลิกรัม) | เบต้า-แคโรทีน(C <sub>1</sub> ) |                 | ออกซ์เจนทิน(C <sub>2</sub> ) |                |
|---------------|---------------------|-------------------------------|--------------------------------|-----------------|------------------------------|----------------|
|               |                     |                               | ppm                            | ug/g*           | ppm                          | ug/g*          |
| เปลือกข้าวโพด | 200.18              | 50.0                          | 24.4784±0.0104                 | 6.1141±0.0026   | 2.5818±0.0011                | 0.6449±0.0003  |
| สาหร่ายแม่น้ำ | 200.11              | 42.0                          | 795.9890±3.7700                | 167.0658±0.7913 | 83.9560±0.3976               | 17.6211±0.0835 |
| ตอกเข็ม       | 200.08              | 40.0                          | 526.3025±1.5061                | 105.2184±0.3011 | 55.5112±0.1589               | 11.0978±0.0318 |
| ตอกดาวเรือง   | 192.94              | 33.0                          | 2406.2321±3.7283               | 411.5562±0.6377 | 253.7946±0.3932              | 43.4084±0.0673 |
| แคภย          | 200.13              | 45.0                          | 632.9076±18.6141               | 142.3117±4.1854 | 66.7552±1.9633               | 15.0102±0.4415 |
| ตอกเพียงฟ้า   | 119.17              | 30.0                          | 137.7011±0.7810                | 34.6650±0.1966  | 14.5239±0.0824               | 3.6563±0.0207  |
| เปลือกงา      | 200.14              | 32.0                          | 142.5869±1.1236                | 22.7979±0.1796  | 15.0392±0.1185               | 2.4046±0.0189  |

หมายเหตุ \* ug/g หมายถึง น้ำหนักสาร(เบต้า-แคโรทีน หรือออกซ์เจนทิน) ต่อ น้ำหนักตัวอย่างสด

## บทที่ 5

### สรุปผลการวิจัย อภิปรายผลการวิจัยและข้อเสนอแนะ

การศึกษาเพื่อเปรียบเทียบประสิทธิภาพในการสกัดสารในกลุ่มแครโธทินอยด์ในงานวิจัยครั้งนี้ ศึกษาการสกัดโดยการหาปริมาณแอกซต้าแซนทินจากตัวอย่างแครอฟท์ มาทดลองเตรียมตัวอย่าง 3 วิธี คือ ตัวอย่างสด ตัวอย่างอบ และตัวอย่างฟรีซดรายน์ แล้วนำไปสกัดจากตัวทำละลายผสม 3 ชนิด คือ (1) acetone-methanol-petroleum ether อัตราส่วน 3:2:1 (2) chloroform-methanol อัตราส่วน 3:1 และ (3) hexane-acetone-ethanol อัตราส่วน 2:1:1 และวิเคราะห์ปริมาณแอกซต้าแซนทินด้วยเทคนิคไฮเพอร์ฟอร์มานซ์ลิควิดクロมาโทกราฟี ซึ่งใช้สภาวะการทดลองที่เหมาะสมดังนี้

- คอลัมน์ C<sub>30</sub> reverse phase column
- ความยาวคลื่นที่เหมาะสมสำหรับการวิเคราะห์คือ 480 nm
- เฟสเคลื่อนที่ hexane-acetone อัตราส่วน 70:30
- อัตราการไหลของเฟสเคลื่อนที่คือ 1.0 ml/min

จากการศึกษาวิธีการเตรียมตัวอย่างที่นำมาสกัดโดยใช้วิธีสกัด 3 วิธี พบว่าเมื่อสกัดจากตัวอย่างสดจะสามารถสกัดแอกซต้าแซนทินออกมากจากแครอฟท์ได้มากที่สุด เนื่องจากตัวอย่างแครอฟท์สมมีโอกาสสูญเสียแอกซต้าแซนทินจากความร้อนและแสงได้น้อย สำหรับตัวอย่างที่ดึงน้ำออกด้วยวิธีฟรีซดรายน์ ต้องนำตัวอย่างมาทำให้แห้งซึ่งต้องใช้เวลานาน ทำให้ตัวอย่างมีโอกาสสูญเสียแอกซต้าแซนทินมาก และตัวอย่างที่ผ่านการอบอาจมีการสูญเสียหรือเกิดการสลายตัวของแอกซต้าแซนทินจากความร้อนได้ และการศึกษาตัวทำละลายที่ใช้สกัดสารจากตัวอย่างแครอฟท์สด พบว่าสารละลายผสมระหว่าง hexane-acetone-ethanol อัตราส่วน 2:1:1 สามารถสกัดแอกซต้าแซนทินออกมากได้มากที่สุด

การวิเคราะห์หาปริมาณเบต้า-แครโธทินและแอกซต้าแซนทินในพืชตัวอย่าง 7 ชนิด ได้แก่ เปล็อกข้าวโพด สาหร่ายผมนาง ดอกเข็ม ดอกดาวเรือง แครอฟท์ ดอกเพื่องฟ้า และเปล็อกเงาะ โดยใช้เทคนิคUV-Vis spectrophotometry ซึ่งพบปริมาณเบต้า-แครโธทินในดอกดาวเรืองมากที่สุด ( $411.5562 \pm 0.6377 \mu\text{g/g}$ ) รองลงมาคือ สาหร่ายผมนาง ( $167.0658 \pm 0.7913 \mu\text{g/g}$ ) แครอฟท์ ( $142.3117 \pm 4.1854 \mu\text{g/g}$ ) ดอกเข็ม ( $105.2184 \pm 0.3011 \mu\text{g/g}$ ) ดอกเพื่องฟ้า ( $34.6650 \pm 0.1966 \mu\text{g/g}$ ) เปล็อกเงาะ ( $22.7979 \pm 0.1796 \mu\text{g/g}$ ) และเปล็อกข้าวโพด ( $6.1141 \pm 0.0026 \mu\text{g/g}$ ) ตามลำดับ

ส่วนปริมาณแอดสตาแซนทินพบในดอกดาวเรือง( $43.4084 \pm 0.0673 \mu\text{g/g}$ ) มากที่สุด รองลงมาคือสาหร่ายผมนาง( $17.6211 \pm 0.0835 \mu\text{g/g}$ ) แครอท( $15.0102 \pm 0.4415 \mu\text{g/g}$ ) ดอกเข็ม ( $11.0978 \pm 0.0318 \mu\text{g/g}$ ) ดอกเพ็งฟ้า( $3.6563 \pm 0.0207 \mu\text{g/g}$ ) เปล็อกเงาะ( $2.4046 \pm 0.0189 \mu\text{g/g}$ ) และเปล็อกข้าวโพด( $0.6449 \pm 0.0003 \mu\text{g/g}$ ) ตามลำดับ



## บรรณานุกรม

- นิติยา รัตนานันท์. เคมีอาหาร. กรุงเทพฯ : โอดี้นส์�อร์, 2545.
- วีระศักดิ์ สามี(2005) แครอทีนอยด์: โครงสร้างทางเคมีและกลไกที่มีผลต่อการทำน้ำทึ่ของร่างกาย J Pharm Sci ;10(1):58-66
- สุดสาขชล หอมทอง. 2541. การผลิต astaxanthin จากสาหร่าย. วิทยานิพนธ์ปริญญาโท. มหาวิทยาลัยเกษตรศาสตร์ กรุงเทพฯ.
- Abushita, A.A., Hebshi, E.A., Daood, H.G. and Biacs, P.A. (1997). Determination of antioxidant vitamins in tomatoes. Food Chemistry.: 207-212
- Association of Official Analytical Chemists (1984) Official Methods of Analysis of the Association of Official Analytical Chemists. Section 43.014-43.017 Carotenes in Fresh Plant Materials and Silages Spectrophotometric Method Final Action, 14th edn. The Association of Official Analytical Chemists, Inc., Arlington, VA.
- Britton, G.(1995) Structure and properties of carotenoids in relation to function. FASEB J; 9:1551-1558.
- Bushway, R. J. (1985) Separation of carotenoids in fruits and vegetables by high performance liquid chromatography. Journal of Liquid Chromatography 8(8), 1527-1547.
- Bushway, R. J. and Wilson, A.M. (1982) Determination of  $\alpha$ - and  $\beta$ -carotene in fruit and vegetables by HPLC. Canadian Institute of Food Science and Technology Journal 15(3), 165-169.
- Hamano, P.S. and Mercadante, A.Z. (2001). Composition of carotenoid from commericial product of caja. J. food composition and analysis. : 335-343
- Hodisan, T., Socaciu, C., Ropan, I., and Neamtu, G.(1997). Carotenoid composition of *Rosa canina* fruits determined by thin-layer chromatography and high-performance liquid chromatography. J. Pharm. Biomed. Anal., 16, 521-528.
- Hsieh, Y. P. C. and Karel, M. (1983) Rapid extraction and determination of  $\alpha$ - and  $\beta$ -carotene in foods. J.Chromatography 259, 515-518.
- Johnson, E.A., Villa, T.G. and Lewis, M.J. (1980). *Phaffia rhodozyma* as an astaxanthin source in salmonid diets. Aquaculture 20: 123-134.

- Jyonouchi, H., Sun, S., Mizokami, M. and Gross M.D. (1996). Effect of various carotenoids on clone, effectorstage T-helper cell activity. *Nutrition and Cancer* 26: 313-324.
- Kobayashi, M., Kakizono, T. and Nagai, S. (1991), Astaxanthin production by a green algae, *Haematococcus pluvialis* accompanied with morphological changes in acetate medium. *Journal of Fermentation Bioengineering.* : 61-63
- Lee, H.S., Castle, W.S. and Coates, G.A. (2001). High performance liquid chromatography for characterization of carotenoid in the new sweet orange (Earlygold) grown in Florida, USA. *J. Chromatogr. A.* : 371-377
- Lin, C.H. and Chen, B.H. (2005). Stability of carotenoids in tomato juice during storage. *Food Chemistry*; 90, 837-846.
- Maursich, W.L. and Bauernfeind. (1989). Oxycarotenoids in poultry feeds, pp. 319-462. In.: Bauernfeind, S.C.editor. *Carotenoids as Colorants and Vitamin A Precursors : Food Science and Technology a series of Monograph*. Academic Press, Inc., London.
- Noga, G. and Lenz, F. (1983) Separation of citrus carotenoids by reversed phase high performance liquid chromatography. *Chromatographia* 17(3), 139-142.
- Ong A.S.H. and Tee, E.S. (1992) Natural sources of carotenoids from plants and oils. *Meth Enzymol*; 213:142-167.
- Otles, S. and Atli, Y. (2000). Analysis of carotenoids in tomato paste by HPLC and OCC. *Application note.* : 22-24
- Reeder, S. K. and Park, G. L. (1975) A specific method for the determination of provitamin A carotenoids in orange juice. *J.AOAC.* 58(3), 595-598.
- Shibata, N. and Kinumaki, Y. (1979). An improvement of TBA procedure as the measure of the oxidative deterioration occurring in fish oils II intact sample procedure. *Bull. Japan. Soc. Sci. Fish.* : 505-509
- Stewart, I. (1977) High performance liquid chromatographic determination of provitamin A in orange juice. *J.AOAC* 60(1), 132-136.
- Taungbodhitham, A. K., Jones, G.P., Wahlqvist, M.L. and Briggs, D.R. (1998) Evaluation of extraction method for the analysis of carotenoids in fruits and vegetables. *Food Chemistry*, 63(4), 577-584.

Torrisen, O.J.(1995). Strategies for salmonid pigmentation. J.Appl. Ichthyol. 11, 276-281.

Zakaria, M., Simpson, K., Brown, P. R. and Krstulovic, A. (1979) Use of reversed phase high performance liquid chromatographic analysis for the determination of provitamin A carotenes in tomatoes. J, Chromatography 176, 109-117.

